

第五章 根轨迹法

5.1 导论

- 5.1.1 对时域法的评价
- 5.1.2 对分析与设计方法的要求
- 5.1.3 对间接法的评价

5.2 根轨迹

- 5.2.1 例子
- 5.2.2 相角与幅值条件

5.3 根轨迹的性质

- 5.3.1 根轨迹的性质
- 5.3.2 极点之和的守恒条件
- 5.3.3 举例

5.4 控制系统的根轨迹分析

- 5.4.1 条件稳定系统
- 5.4.2 不同控制器的对比
- 5.4.3 零极点的影响
- 5.4.4 参数根轨迹和根轨迹簇
- 5.4.5 带纯时滞系统的根轨迹

5.5 补根轨迹

5.1 导论

5.1.1 时域法

—直接分析方法

- 适合性能的直接评估
- 计算过于复杂
- 难以预测性能随参数变化的影响
- 费时

5.1.2 对分析与设计方法的要求

- 简单、容易实施
- 易于预测系统性能
- 有可能指明更佳的参数

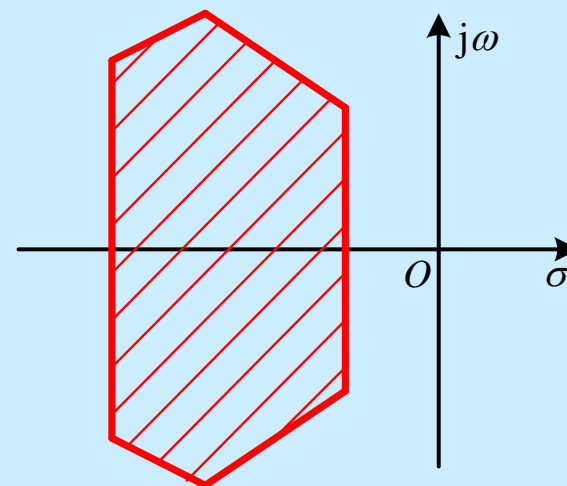
5.1.3 主要的间接方法

(1) 代数稳定准则

◆ Routh稳定性判据

- 易于考察“绝对”稳定性
- 不合适评测相对稳定性
- 难以判断闭环极点是否在给定区域

- 对参数选择没有足够指导



s - plane

$$s = \sigma + j \omega$$

$$0 \leq \zeta < 1, \quad s_{1,2} = -\frac{\zeta}{T} \pm j \frac{\sqrt{1-\zeta^2}}{T} = -\omega_n \zeta \pm j \omega_d$$

(2) 频域响应法

- **Nyquist plot, Bode diagrams, Nichols charts**
- **易于预测闭环性能**
- **可以评测相对稳定性**
- **易于通过修改开环频域响应来改善闭环性能**
- **难以直接根据开环参数预测闭环极点的位置**

(3) 根轨迹法

◆ 什么是根轨迹root locus?

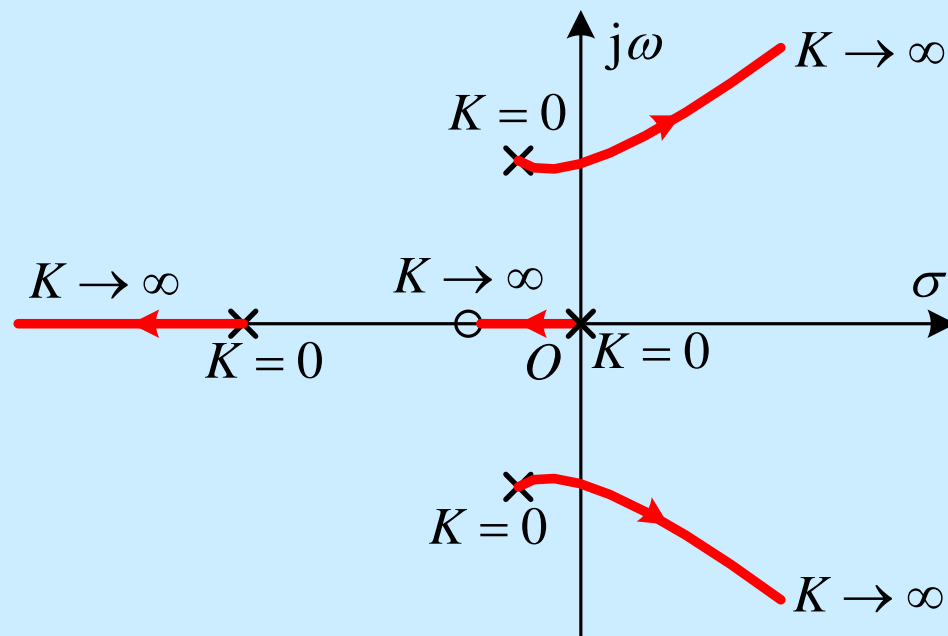
- 闭环特征方程的根，作为开环增益的函数而形成的图线

◆ 为什么要研究根轨迹?

- 易于预测闭环性能

◆ 可行性?

- Yes.
W R Evans,
1948, 1950

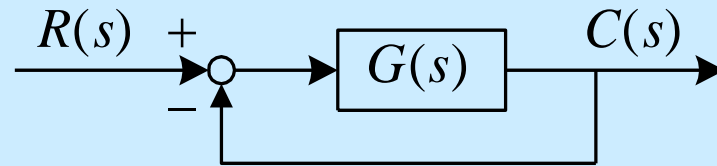


5.2 根轨迹作图

5.2.1 示例

例 5.2.1 给定如下开环传递函数，绘制闭环根轨迹

$$G(s) = \frac{K}{s(s+1)}$$



Solution:

- **CL TF is** $G_{CL}(s) = \frac{C(s)}{R(s)} = \frac{G(s)}{1 + G(s)} = \frac{K}{s^2 + s + K}$
- **CL 特征方程:** $s^2 + s + K = 0$
- **K 变化 \rightarrow CL 极点变化**
- **CL 极点:**

$$s_{1,2} = -\frac{1}{2} \pm \frac{1}{2} \sqrt{1 - 4K}$$

$$s_{1,2} = \frac{-1 \pm \sqrt{1-4K}}{2}$$

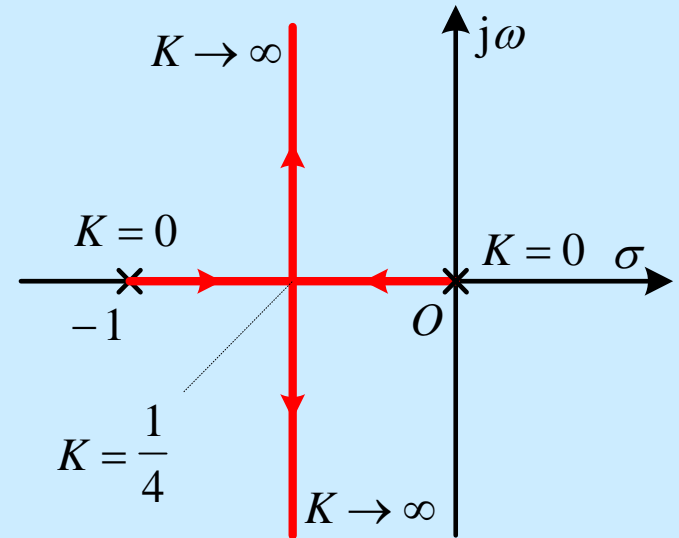
(i) $K \geq 0$

$$K = 0 \quad s_{1,2} = -\frac{1}{2} \pm \frac{1}{2} = 0, -1 \quad (\text{OL 极点})$$

$$K < \frac{1}{4} \quad s_{1,2} = -\frac{1}{2} \pm \frac{\sqrt{1-4K}}{2}$$

$$K = \frac{1}{4} \quad s_{1,2} = -\frac{1}{2} \pm 0 = -\frac{1}{2}, -\frac{1}{2}$$

$$K > \frac{1}{4} \quad s_{1,2} = -\frac{1}{2} \pm j \frac{\sqrt{4K-1}}{2}$$



• CL系统的阻尼特性

$K = 0$ \rightarrow 0.25 \rightarrow ∞
 过阻尼 欠阻尼

$$s_{1,2} = \frac{-1 \pm \sqrt{1 - 4K}}{2}$$

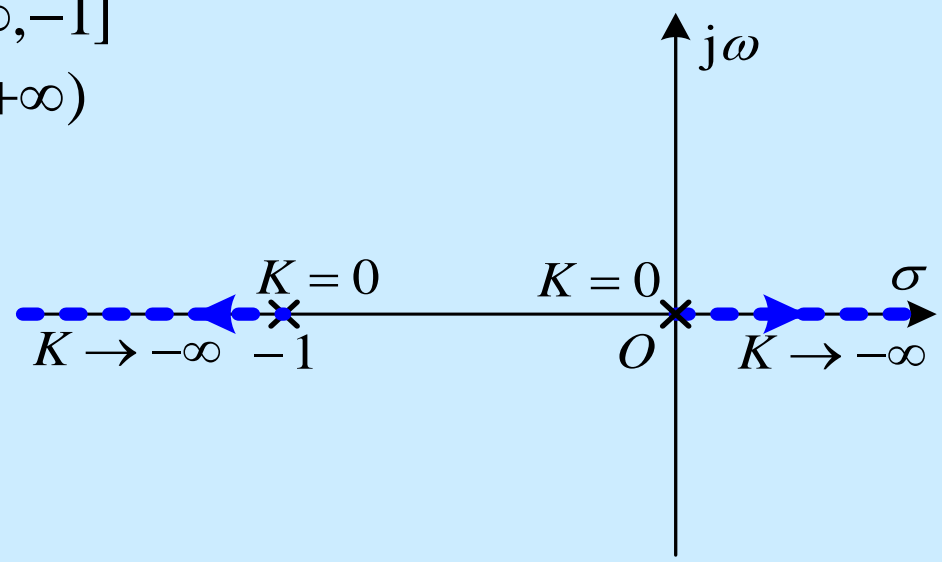
(ii) $K \leq 0$

$K = 0$ $s_{1,2} = 0, -1$ **(OL 极点)**

$K < 0$ $s_{1,2} = \frac{-1 \pm \sqrt{1 + 4|K|}}{2}$

$s_1 \in (-\infty, -1]$

$s_2 \in [0, +\infty)$

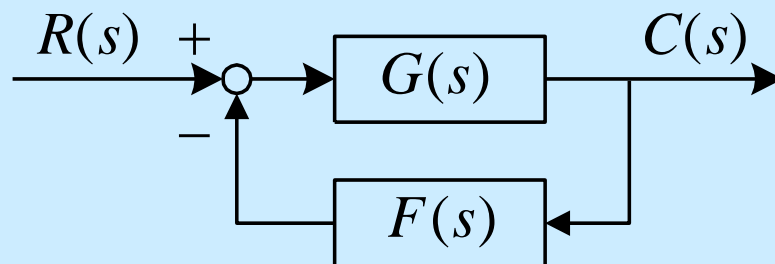


5.2.2 相角与幅值条件

◆ 约定:

- 系统结构

- $K \geq 0$



◆ 根轨迹条件

- 所有闭环极点满足 $G(s)F(s) = -1$

- 幅值条件:

$$|G(s)F(s)| = 1$$

- 相角条件:

$$\arg [G(s)F(s)] = \pm(2k + 1)\pi \quad k = 0, 1, 2, \dots$$

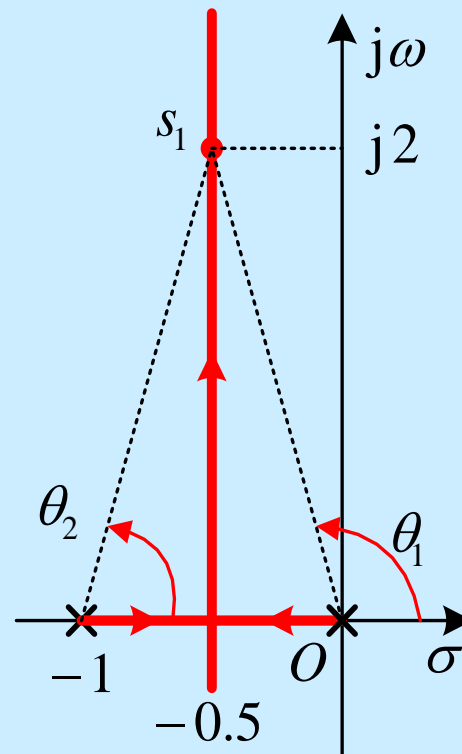
例 5.2.2 检验例5.2.1中根轨迹条件是否满足

Solution:

• 任取一点 $s_1 = -\frac{1}{2} + j2$

(i) 相角条件检验

$$\begin{aligned}\arg G(s_1) &= \arg \frac{1}{s_1(s_1 + 1)} \\&= -\arg(s_1) - \arg(s_1 + 1) \\&= -\theta_1 - \theta_2 \\&= -\arctan \frac{2}{-0.5} - \arctan \frac{2}{0.5} \\&= -104.04^\circ - 75.96^\circ = -180^\circ\end{aligned}$$



$$G(s) = \frac{K}{s(s+1)}$$

(2) 幅值条件检验

$$|G(-0.5 + j2)| = \frac{K}{|-0.5 + j2| |-0.5 + j2 + 1|} = \frac{4K}{17} = 1$$

$$\text{i.e. } K = \frac{17}{4} \Rightarrow \text{CL 极点 } s_1 = -\frac{1}{2} \pm j2$$

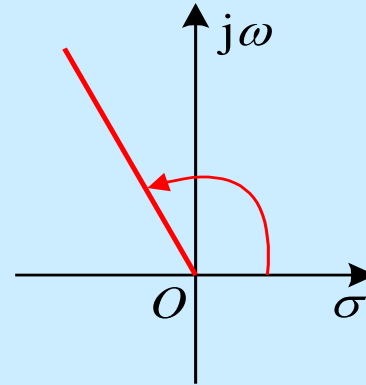
Remarks:

- 所有闭环极点都满足相角条件，与 K 无关
 \Rightarrow 根轨迹可由相角条件唯一确定
- 给定闭环极点，幅值条件可确定 K

5.3 根轨迹的特性及应用

◆ 约定:

- 正实轴角度 — 0°
逆时针 — 角度增加方向



- 负反馈结构, $K \geq 0$
- 仅计算上s半平面的闭环根轨迹
- ◆ 闭环特征方程写成如下形式

$$\begin{aligned} 1 + G(s)F(s) &= 1 + KW(s) = 1 + K \frac{B(s)}{A(s)} \\ &= 1 + \frac{K(s - z_1) \cdots (s - z_m)}{(s - p_1)(s - p_2) \cdots (s - p_n)} = 0 \end{aligned}$$

在s平面上标出开环零点和极点

5.3.1 根轨迹的特性

1. 出发 / 终止点, 分支数

◆ 出发点: ($K = 0$)

$$|KW(s)| = 1 \quad \Rightarrow \quad |W(s)| = \frac{1}{K} \quad \lim_{K \rightarrow 0} \frac{1}{K} = \infty$$

$$\lim_{K \rightarrow 0} |W(s)| = \infty$$

- 等价于 $(s - p_1)(s - p_2) \cdots (s - p_n) = 0$
- 所有开环极点都是出发点

◆ 终止点: ($K = \infty$)

$$\lim_{K \rightarrow \infty} \frac{1}{K} = 0$$

$$\lim_{K \rightarrow \infty} |W(s)| = 0$$

• 等价于

$$\begin{cases} (s - z_1)(s - z_2) \cdots (s - z_m) = 0 \\ s \rightarrow \infty \quad \text{if } n > m \end{cases}$$

- 所有开环零点(有限)都是终止点
- 如果 $n > m$, 存在 $n - m$ 个无限终止点

◆ 分支数

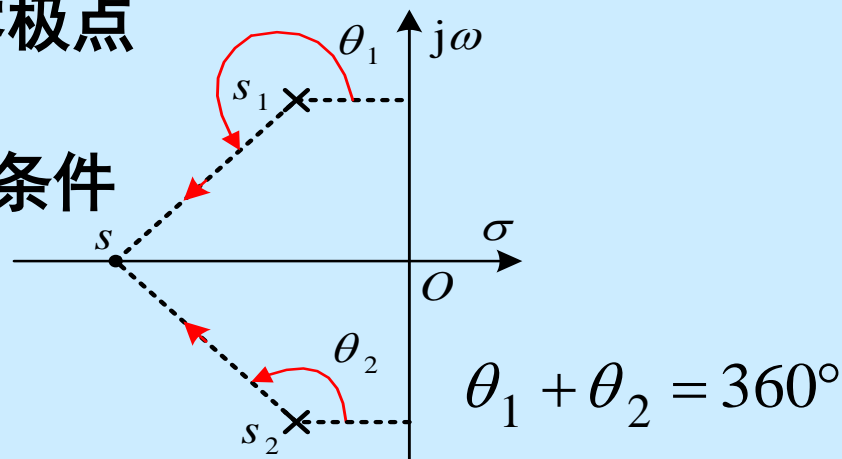
- n 个分支 $\leftarrow n$ 个出发点
其中, m 支趋于 m 个有限零点
 $n - m$ 支趋于无穷远

Remarks: what if $n < m$?

2. 实轴上的根轨迹

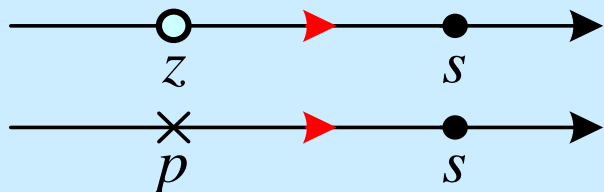
◆ 仅仅取决于实轴上的开环零极点

● 共轭开环零极点不影响相角条件



◆ 根轨迹右侧的实零极点总数必须是奇数

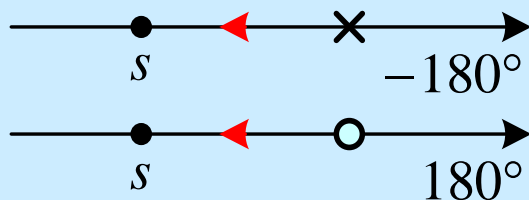
● 零极点位于测试点左侧



Angle = 0°

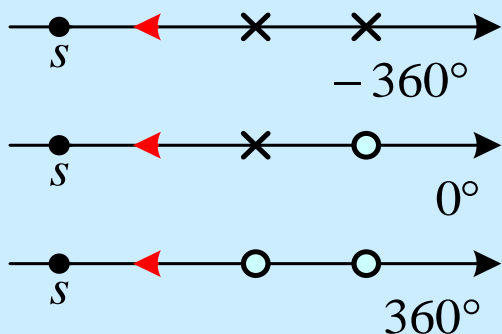
测试点不满足相角条件

- 零极点位于测试点右侧



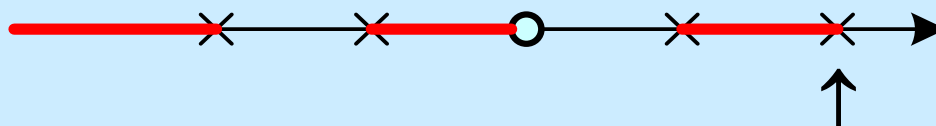
Angle = 180° or -180°
 测试点满足相角条件

- 测试点右侧由 $2k$ 个零极点



Angle = $\pm 180^\circ \times 2k$
 测试点不满足相角条件

- ◆ 绘制实轴上的根轨迹



最右侧的极点或零点

3. 根轨迹的渐近线 $s \rightarrow \infty$

◆ 相角的渐近线

- 当 $s \rightarrow \infty$, 所有相角相同, 记作 γ

$$\arg[G(s)F(s)] \Big|_{s \rightarrow \infty} = (m - n)\gamma$$

- 由于 $\arg[G(s)F(s)] = \pm(2k + 1)\pi$

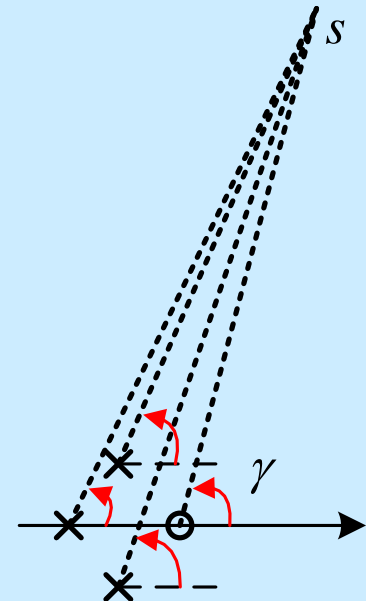
从而

$$\gamma = \frac{\mp(2k + 1)\pi}{n - m} \quad k = 0, 1, 2, \dots$$

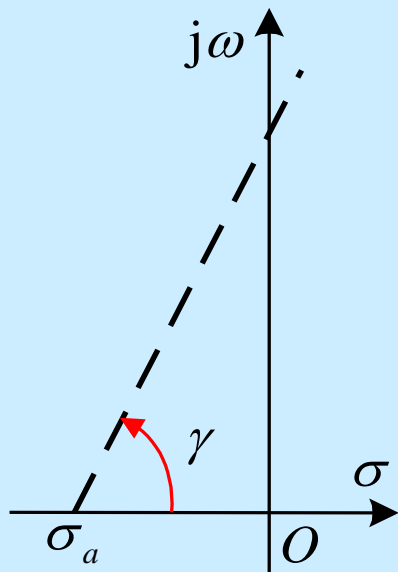
- $n - m$ 支不同的渐近线

- 渐近线与实轴的夹角

$$\gamma = \frac{-(2k + 1)\pi}{n - m} \quad k = 0, 1, \dots, n - m - 1$$



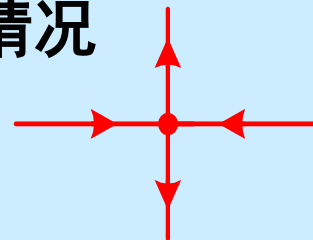
◆ 渐近线与实轴的交点



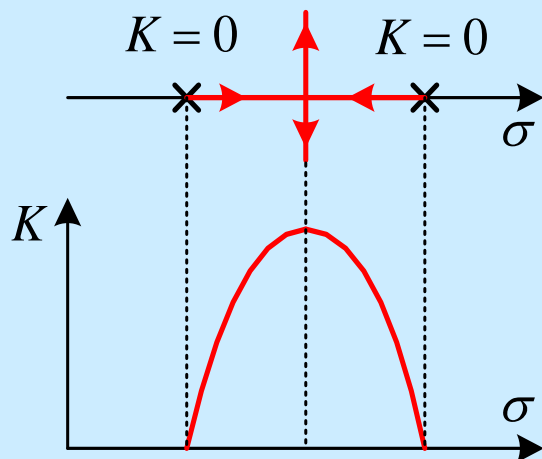
$$\sigma_a = \frac{\sum_{j=1}^n p_j - \sum_{i=1}^n z_i}{n - m}$$

4. 分离和会合点

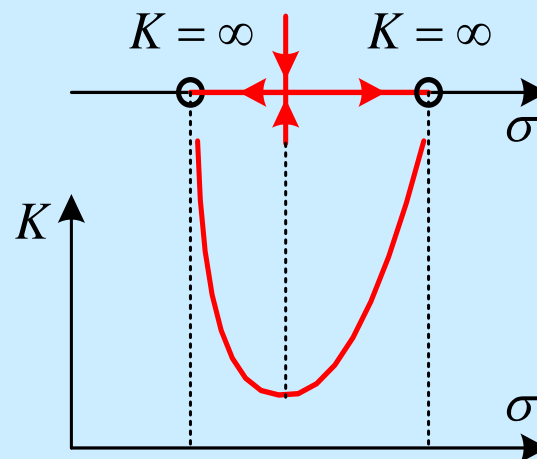
- 分离和会合点等价于多重闭环极点的情况



◆ 实轴上的分离和会合点



K 在会合点值最大



K 在分离点值最小

◆ 计算

• CL极点满足 $f(s) = A(s) + KB(s) = 0$ (1)

• 多重CL极点(至少)满足

$$\frac{df(s)}{ds} = A'(s) + KB'(s) = 0 \quad K = -\frac{A'(s)}{B'(s)} \quad (2)$$

• 将式(2)代入式(1)得

$$A(s) - \frac{A'(s)}{B'(s)}B(s) = 0$$

i.e $A(s)B'(s) - A'(s)B(s) = 0$ (3)

• 由于 $K = -\frac{A(s)}{B(s)}$

$$\frac{dK}{ds} = \frac{A(s)B'(s) - A'(s)B(s)}{B^2(s)} \quad (4)$$

- 比较式(3)和(4)得到必要条件:

$$\frac{dK}{ds} = 0 \quad (5)$$

说明:

- (i) 分离和会合点必须满足对应的 $K > 0$
- (ii) 可能存在多个分离和会合点
- (iii) 分离和会合点不一定在实轴上

例 5.3.1 给定 $G(s)F(s) = \frac{K}{s(s+1)(s+2)}$

确定分离和会合点

Solution:

- 特征方程如下

$$K = -s(s+1)(s+2) = -s^3 - 3s^2 - 2s$$

- $\frac{dK}{ds} = -3s^2 - 6s - 2 = 0 \quad s = -0.423, -1.577$

- 对于 $s = -0.423$

$$K = -s(s+1)(s+2) \Big|_{s=-0.423} = 0.385 > 0$$

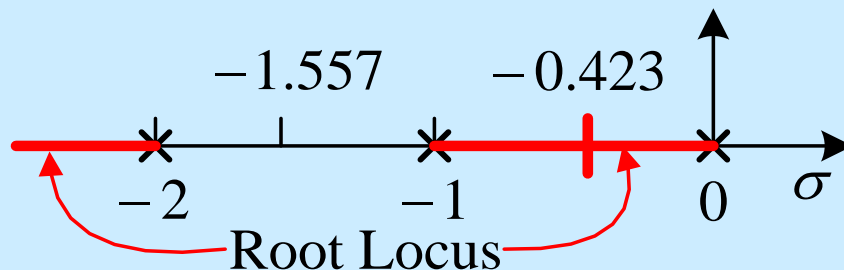
- 对于 $s = -1.577$

$$K = -s(s+1)(s+2) \Big|_{s=-1.577} = -0.385 < 0$$

- 因此, $s = -0.423$ 是会合点

说明:

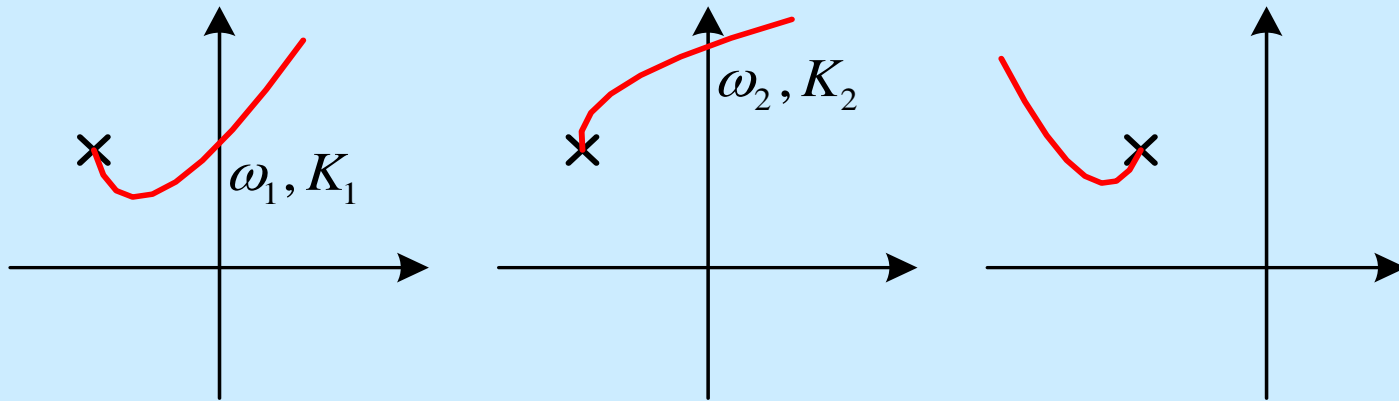
- (i) 很容易发现 -1.557 不在根轨迹上
⇒ 不是分离或会合点



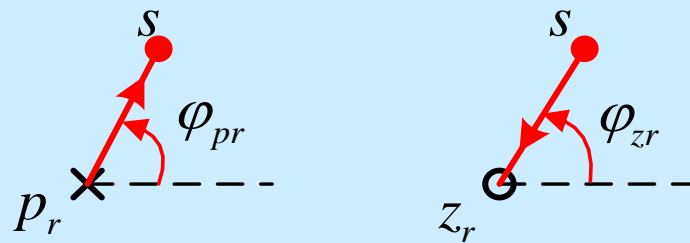
- (ii) 当 $B(s) = 1$, 必要条件简化为 $A'(s) = 0$

5. 极点的出发角和零点的入射角

- 这些角度对绘制根轨迹很重要



- 采用零点或极点附近的一个测试点计算相角条件



◆ 极点 p_r 的出发角

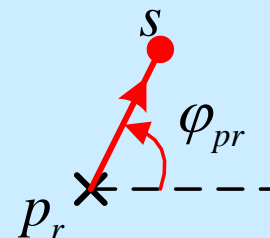
● 测试点必须满足

$$\arg G(s)F(s) = \sum_{i=1}^m \arg(p_r - z_i)$$

$$- \varphi_{pr} - \sum_{\substack{j=1 \\ j \neq r}}^n \arg(p_r - p_j)$$

$$= \pm(2k+1)\pi$$

$$\varphi_{pr} = \pm(2k+1)\pi - \sum_{\substack{j=1 \\ j \neq r}}^n \arg(p_r - p_j) + \sum_{i=1}^m \arg(p_r - z_i)$$



例 5.3.2 确定极点的出发角

$$G(s)F(s) = \frac{K(s+2)}{s^2 + 2s + 3}$$

Solution: 开环极点 $p_{1,2} = -1 \pm j\sqrt{2}$

- 利用上页公式

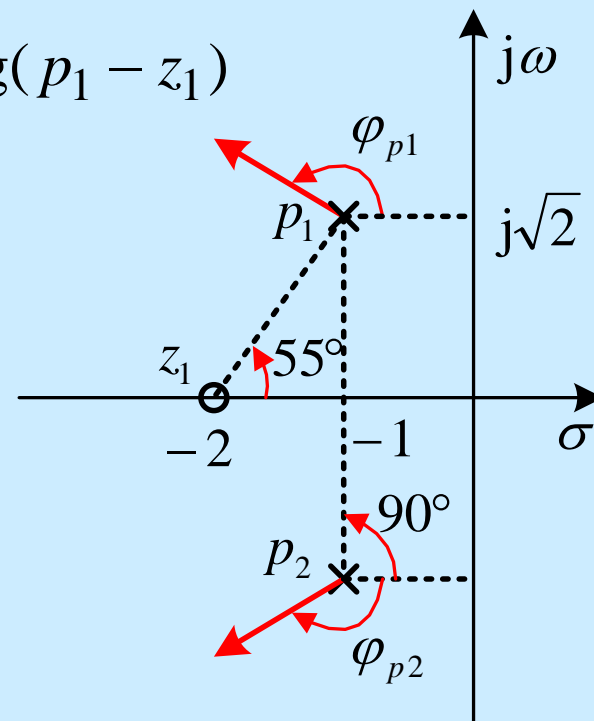
$$\begin{aligned}\varphi_{p1} &= \pm 180^\circ(2k+1) - \arg(p_1 - p_2) + \arg(p_1 - z_1) \\ &= \pm 180^\circ(2k+1) - 90^\circ + 55^\circ \\ &= 145^\circ\end{aligned}$$

$$\varphi_{p2} = -145^\circ \text{ (对称性)}$$

- 直接利用相角条件

$$55^\circ - \varphi_{p1} - 90^\circ = 180^\circ$$

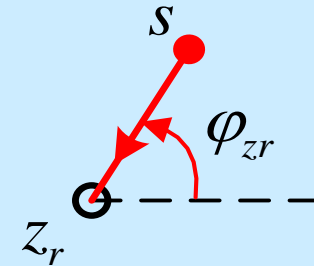
$$\varphi_{p1} = -215^\circ$$



◆ 零点 z_r 的入射角

● 测试点必须满足

$$\begin{aligned}\arg G(s)F(s) &= \sum_{\substack{i=1 \\ i \neq r}}^m \arg(z_r - z_i) + \varphi_{zr} \\ &\quad - \sum_{j=1}^n \arg(z_r - p_j) \\ &= \pm(2k+1)\pi\end{aligned}$$



$$\varphi_{zr} = \pm(2k+1)\pi + \sum_{j=1}^n \arg(z_r - p_j) - \sum_{\substack{i=1 \\ i \neq r}}^m \arg(z_r - z_i)$$

6. 与虚轴的交点

- 根轨迹穿越虚轴 \Rightarrow 稳定性改变

- 交点给出临界 K 和振荡频率

- 方法

(i) Routh稳定性判据

(ii) 令 $s = j\omega$. 求解获得 K 和 ω

$$\begin{cases} \operatorname{Re}[1 + G(j\omega)F(j\omega)] = 0 \\ \operatorname{Im}[1 + G(j\omega)F(j\omega)] = 0 \end{cases}$$

例 5.3.3 确定与虚轴的交点

$$G(s)F(s) = \frac{K}{s(s+1)(s+2)}$$

Solution:

- **CL特征方程:** $f(s) = s^3 + 3s^2 + 2s + K = 0$

(i) Routh判据

- **Routhian阵列**

$$\begin{array}{ccc} s^3 & 1 & 2 \\ s^2 & 3 & K \\ s^1 & (6-K)/3 & \\ s^0 & K & \end{array}$$

- **临界增益**

$$6 - K = 0 \quad K = 6$$

- **辅助方程**

$$3s^2 + K = 3s^2 + 6 = 0$$

$$s = \pm j\sqrt{2}$$

(ii) $f(j\omega) = (j\omega)^3 + 3(j\omega)^2 + 2(j\omega) + K = 0$

$$\begin{cases} K - 3\omega^2 = 0 \\ 2\omega - \omega^3 = 0 \end{cases} \quad \begin{cases} \omega = \pm\sqrt{2} \\ K = 3\omega^2 = 6 \end{cases}$$

5.3.2 系统极点之和的守恒条件

◆ CL极点之和 = OL极点之和
如果 $n - m \geq 2$

- $f(s) = A(s) + KB(s)$

$$= s^n - \sum_{i=1}^n p_i s^{n-1} + \dots + K \left[s^m - \sum_{j=1}^n z_j s^{m-1} + \dots \right]$$

- 当 $n - m \geq 2$ i.e. $m \leq n - 2$,

$$f(s) = s^n - \sum_{i=1}^n p_i s^{n-1} + \sum \text{terms of } (s^{n-2}, s^{n-3}, \dots, s^m, s^{m-1}, \dots)$$

- 记CL极点为 $\lambda_1, \lambda_2, \dots, \lambda_n$

则

$$\begin{aligned} f(s) &= \prod_{i=1}^n (s - \lambda_i) \\ &= s^n - \sum_{i=1}^n \lambda_i s^{n-1} + \dots \end{aligned}$$

- 因此 $\sum_{i=1}^n \lambda_i = \sum_{i=1}^n p_i$

◆ 根据此性质，可计算部分闭环极点

5.3.3 示例

例 5.3.4 绘制根轨迹

$$G(s) = \frac{K(s+2)}{s^2 + 2s + 3}$$

$$F(s) = 1$$

Solution:

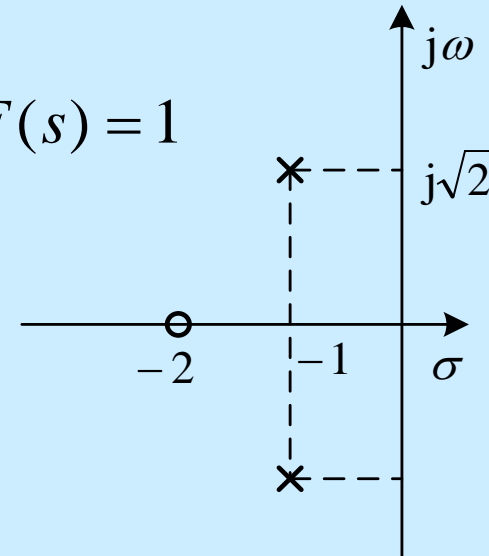
$$(i) \quad G(s)F(s) = \frac{K(s+2)}{s^2 + 2s + 3}$$

OL极点: $p_{1,2} = -1 \pm j\sqrt{2}$

OL零点: $z_1 = -2$

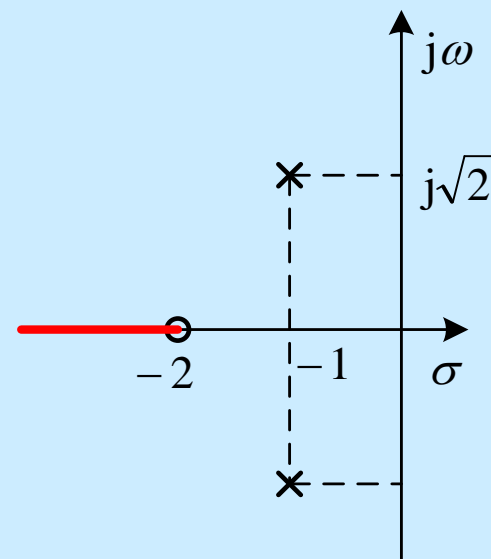
特征方程: $f(s) = s^2 + 2s + 3 + K(s+2)$
 $= s^2 + (2+K)s + (3+2K) = 0$

$$K = -\frac{A(s)}{B(s)} = -\frac{s^2 + 2s + 3}{s + 2}$$



(ii) 出发点: $-1 \pm j\sqrt{2}$
 终止点: $-2, \infty$
 分支数: 2

(iii) 实轴上根轨迹: $(-\infty, -2)$



(iv) 渐近线 ($n - m = 1, k = 0$)

$$\gamma = \frac{\pm 180^\circ(2k+1)}{n-m} = \frac{\pm 180^\circ(2k+1)}{1} = -180^\circ$$

- 没有必要计算 σ_a

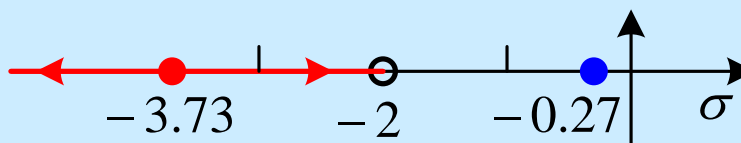
(v) 分离点

$$\frac{dK}{ds} = 0 \quad \frac{B(s)}{A(s)} = \frac{B'(s)}{A'(s)} \quad \frac{s+2}{s^2+2s+3} = \frac{1}{2s+2}$$

$$s^2 + 4s + 1 = 0$$

$$s_{1,2} = -2 \pm \sqrt{3} = -3.732, -0.268$$

- -3.732 在实根轨迹上，因此是分离点



- 检验增益的符号

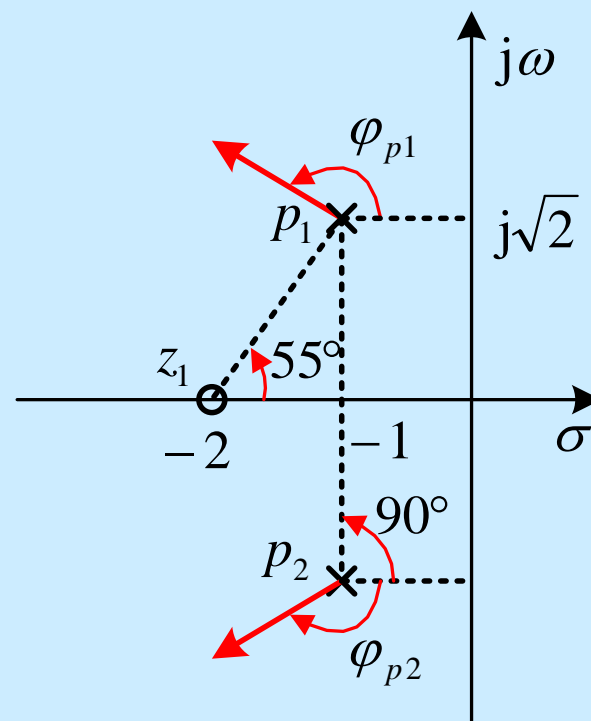
$$K = - \frac{s^2 + 2s + 3}{s + 2} \bigg|_{s=-3.732} = 5.4641 > 0$$

(vi) 出发角

$$\varphi_{p1} = \pm 180^\circ - \arg(p_1 - p_2) + \arg(p_1 - z_1)$$

$$= 145^\circ \text{ or } -215^\circ$$

$$\varphi_{p2} = -145^\circ$$



(vii) 与虚轴的交点

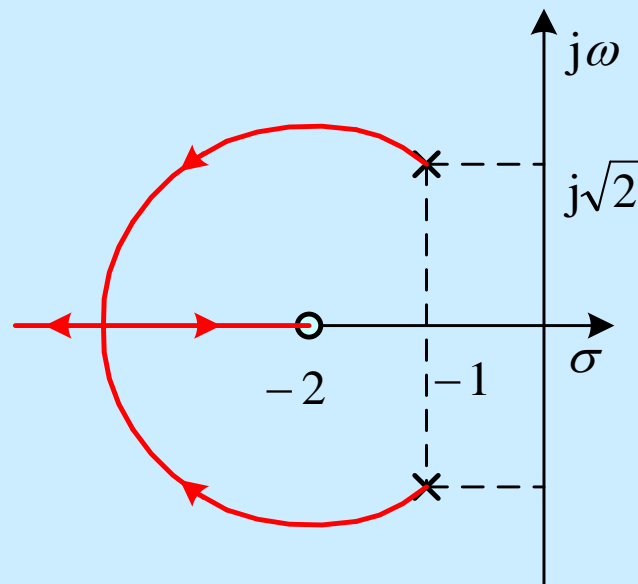
- 没有交点

- * 从分离点和出发角可见

- * 从闭环特征方程可见，所有系数均为正

$$s^2 + (2 + K)s + (3 + 2K) = 0$$

(viii) 根轨迹图形



- 圆的一部分，圆心 $(-2,0)$ ，半径 $\sqrt{3}$

(ix) 简单应用: 确定 $\zeta = 0.7$ 的闭环极点和相应的增益

- 令 $s = -\zeta\omega_n \pm j\omega_n\sqrt{1-\zeta^2}$

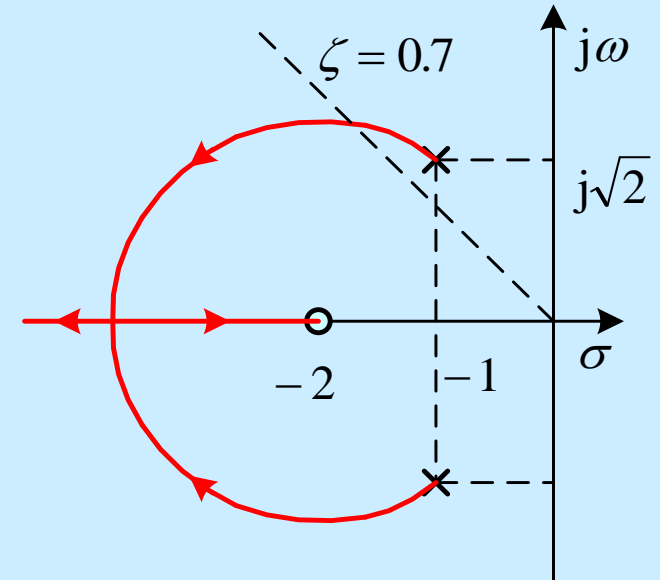
$$= -\sigma \pm j\sigma \frac{\sqrt{1-\zeta^2}}{\zeta}$$

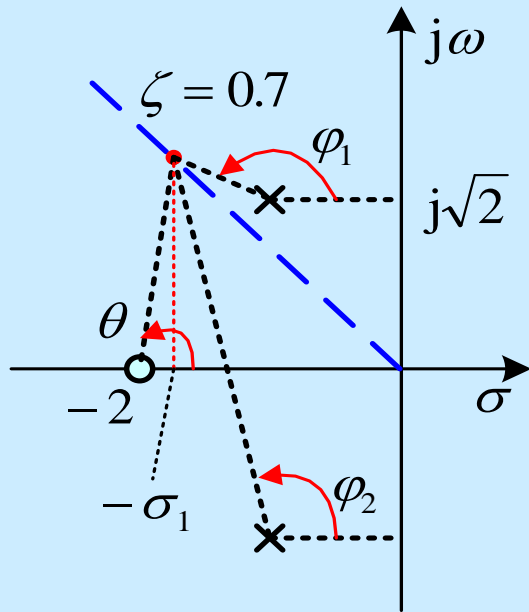
$$= -\sigma \pm j1.0202\sigma$$

则 $G(s) =$

$$\frac{K(-\sigma + j1.0202\sigma + 2)}{(-\sigma + j1.0202\sigma + 1 - j\sqrt{2})(-\sigma + j1.0202\sigma + 1 + j\sqrt{2})}$$

$$\arg G(s) = \arctan \frac{1.0202\sigma}{2 - \sigma} - \arctan \frac{1.0202\sigma - \sqrt{2}}{1 - \sigma} - \arctan \frac{1.0202\sigma + \sqrt{2}}{1 - \sigma} = -180^\circ$$





$$\arg G(s) = \theta - \varphi_1 - \varphi_2 = -180^\circ$$

- $\theta + 180^\circ = \varphi_1 + \varphi_2$

$$\tan \theta = \frac{\tan \varphi_1 + \tan \varphi_2}{1 - \tan \varphi_1 \tan \varphi_2}$$

$$2.0408\sigma^2 - 4\sigma + 1 = 0$$

$$\sigma_1 = 1.666 \quad \sigma_2 = 0.294$$

$$\sigma_1 = 1.666$$

$$\sigma_2 = 0.294$$

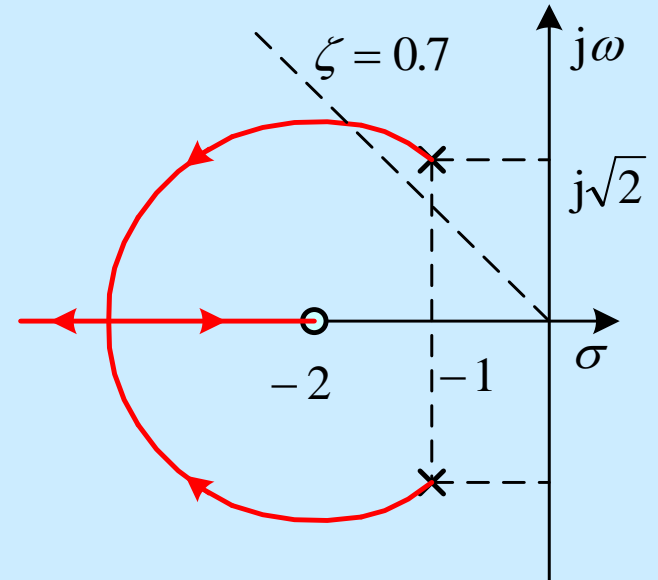
- 取 $\sigma_1 = 1.666$,
则 $s = -1.67 \pm j 1.70$

- 根据幅值条件

$$K = \left| \frac{(s+1)^2 + 2}{s+2} \right|_{s=-1.67 \pm j1.70} = 1.34$$

- 结论:

$$s = -1.67 \pm j1.70 \quad K = 1.34$$



例 5.3.5 绘制根轨迹 $G(s)F(s) = \frac{K}{s(s + 2.73)(s^2 + 2s + 2)}$

Solution:

(i) OL极点: $0, -2.73, -1 \pm j 1$

CL特征方程:

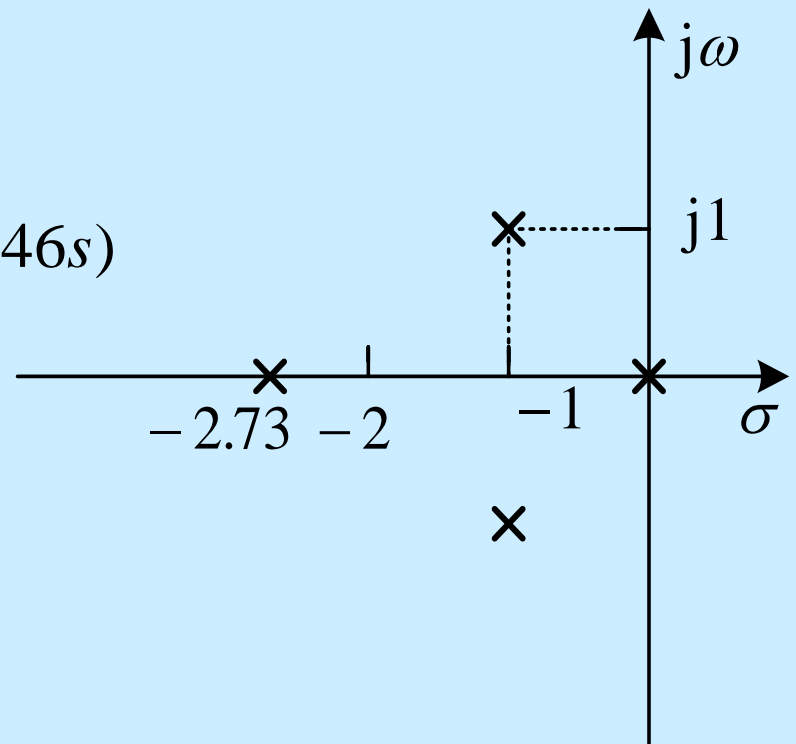
$$\begin{aligned} K &= -s(s + 2.73)(s^2 + 2s + 2) \\ &= -(s^4 + 4.73s^3 + 7.46s^2 + 5.46s) \end{aligned}$$

(ii) 出发点:

$$0, -2.73, -1 \pm j 1$$

终止点: ∞

分支数: 4

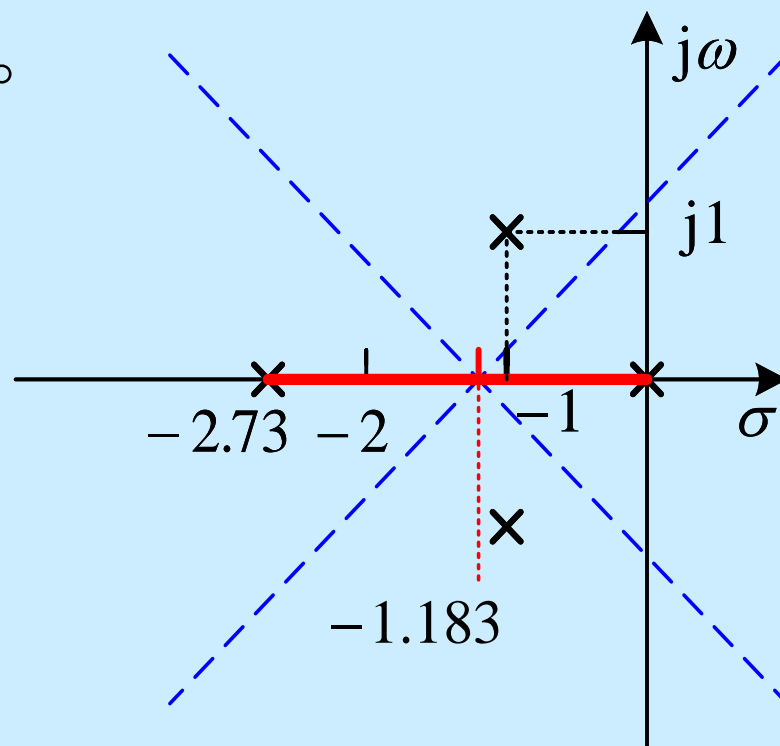


(iii) 实轴上根轨迹: $(-2.73, 0)$

(iv) 渐近线

$$\gamma = \frac{\pm 180^\circ(2k+1)}{n-m}$$
$$= \frac{\pm 180^\circ(2k+1)}{4} = \pm 45^\circ, \pm 135^\circ$$

$$\sigma_a = \frac{\sum_{j=1}^n p_j - \sum_{i=1}^m z_i}{n-m}$$
$$= \frac{0 - 2.73 - 1 + j1 - 1 - j1}{4}$$
$$= -1.183$$



(v) 会合点

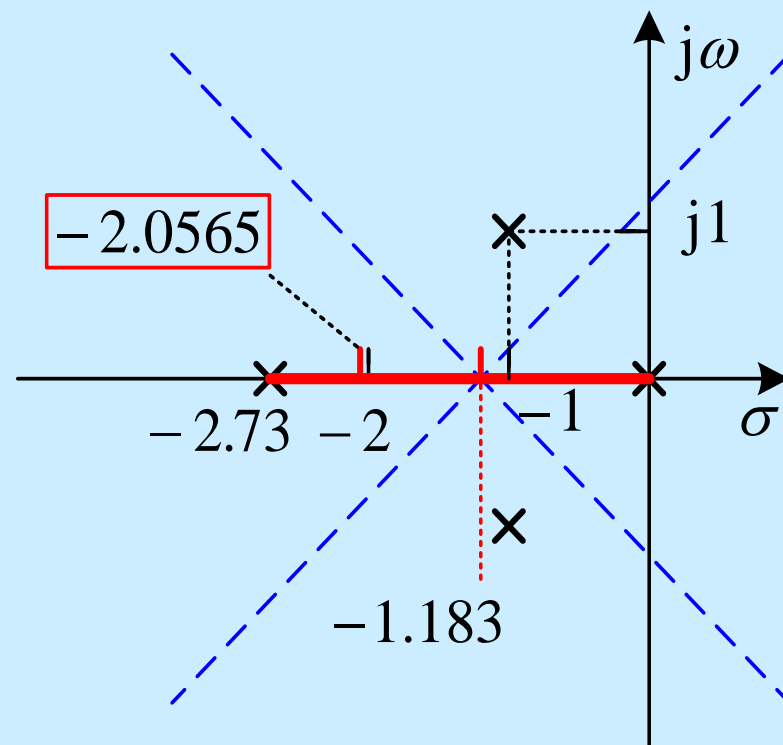
$$\frac{dK}{ds} = 0$$

$$4s^3 + 14.19s^2 + 14.92s + 5.46 = 0$$

一个实根

$$s = -2.0565$$

$$K = -A(s) \big|_{s=-2.0565} = 2.931 > 0$$

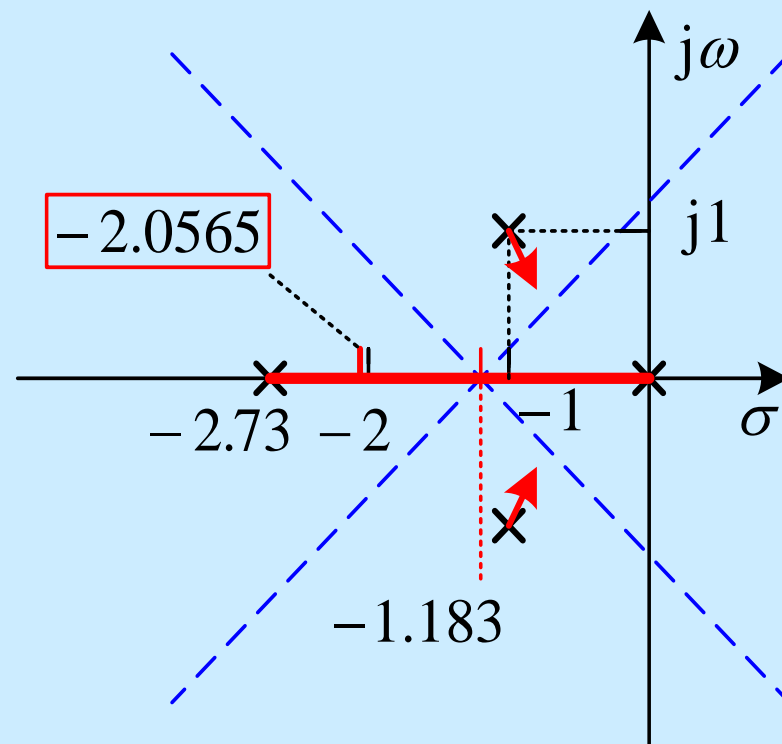
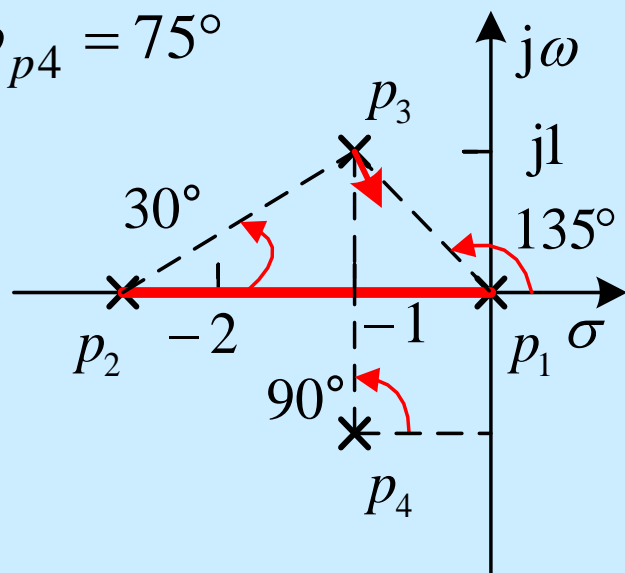


(vi) 出发角

$$\begin{aligned}
 & -\arg(p_3 - p_1) - \arg(p_3 - p_2) - \varphi_{p_3} - \arg(p_3 - p_4) \\
 & = -135^\circ - 30^\circ - \varphi_{p_3} - 90^\circ = -180^\circ
 \end{aligned}$$

$$\begin{aligned}
 \varphi_{p_3} &= 180^\circ - 135^\circ - 30^\circ - 90^\circ \\
 &= -75^\circ
 \end{aligned}$$

$$\varphi_{p_4} = 75^\circ$$



(vii) 与虚轴的交点

$$f(s) = s^4 + 4.73s^3 + 7.46s^2 + 5.46s + K = 0$$

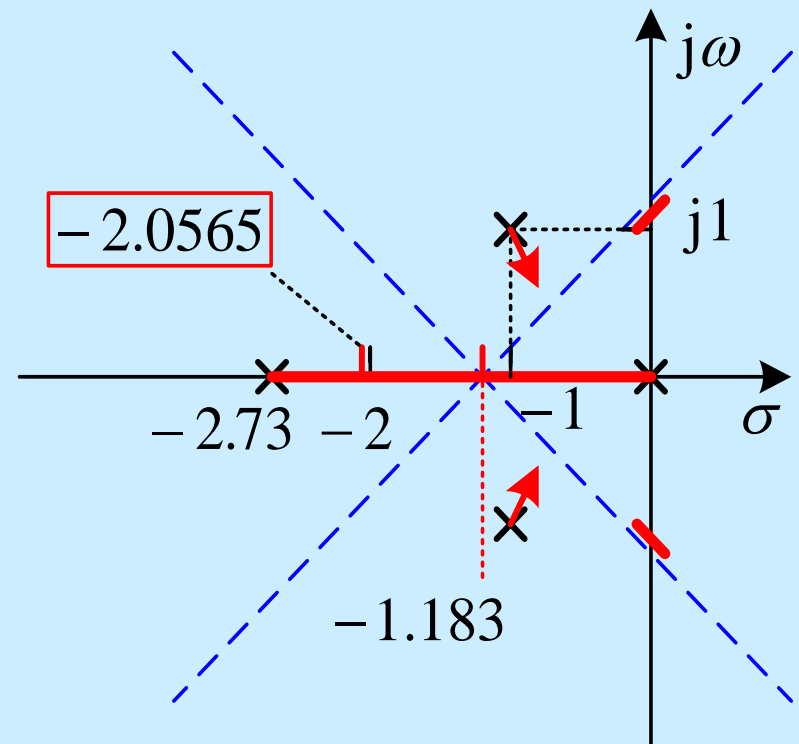
令 $s = j\omega$, 则

$$\omega^4 - j4.73\omega^3 - 7.46\omega^2 + j5.46\omega + K = 0$$

$$\begin{cases} K + \omega^4 - 7.46\omega^2 = 0 \\ 5.46\omega - 4.73\omega^3 = 0 \end{cases}$$

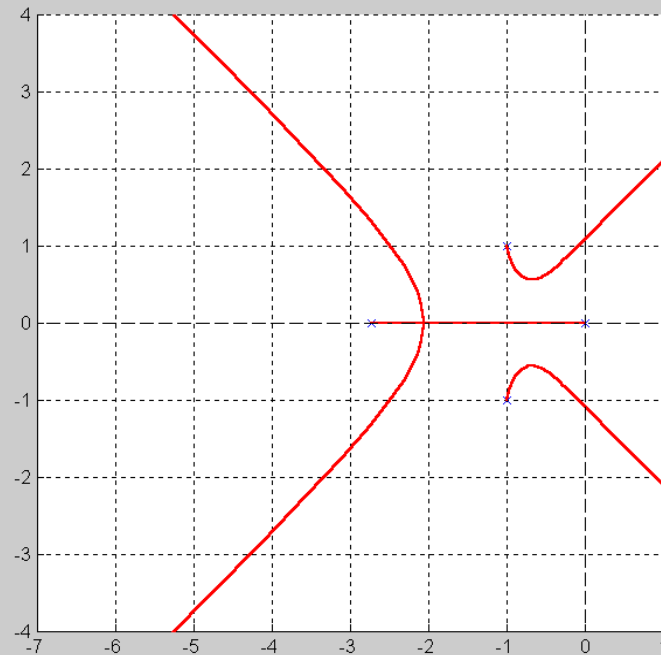
$$\omega = \pm 1.0744 \quad K = 7.28$$

(viii) 手工绘制根轨迹

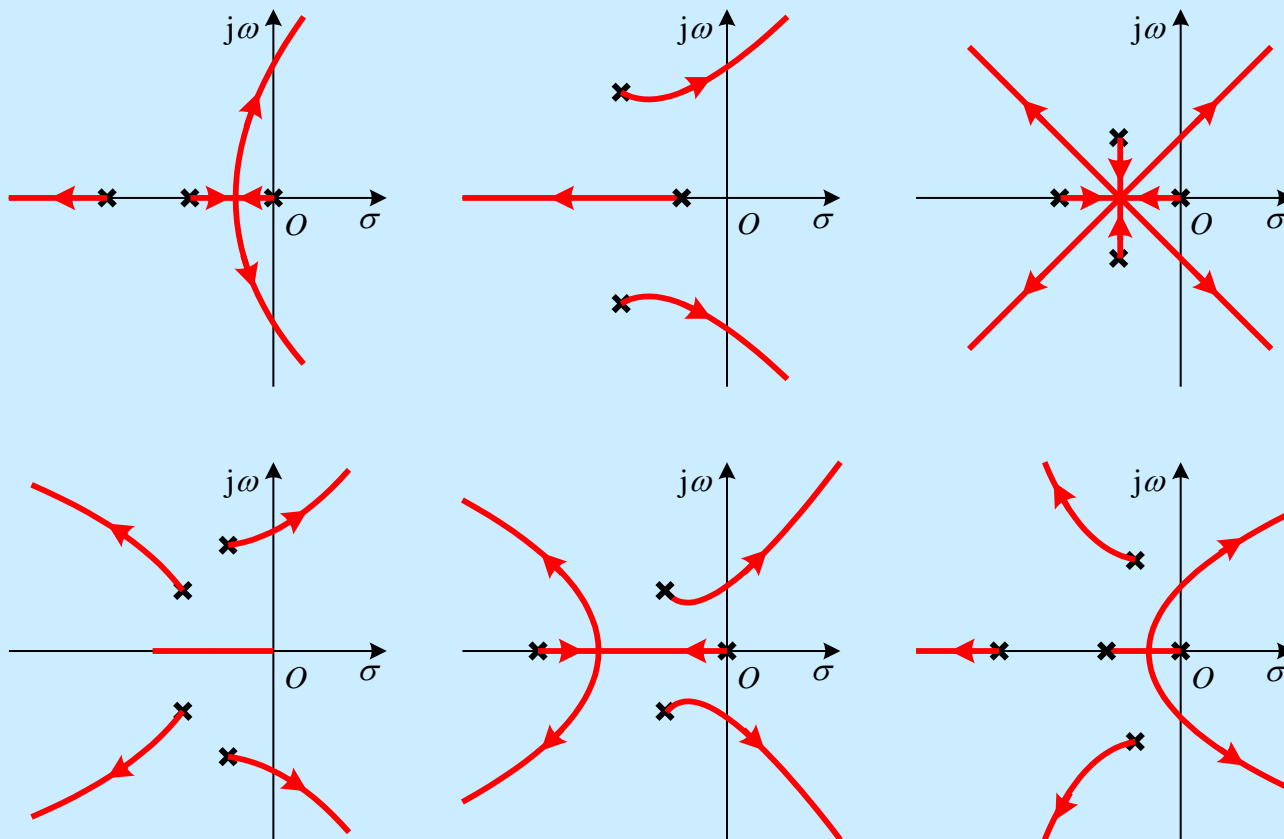


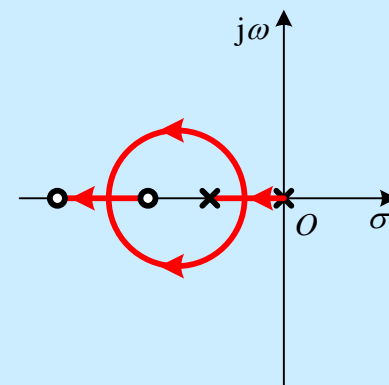
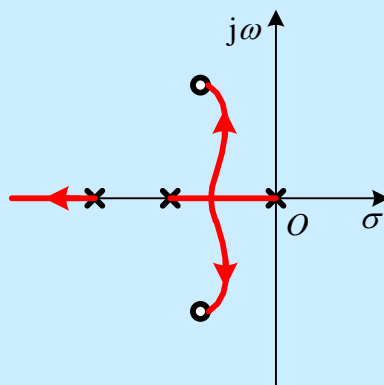
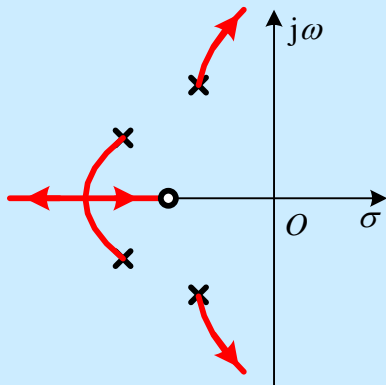
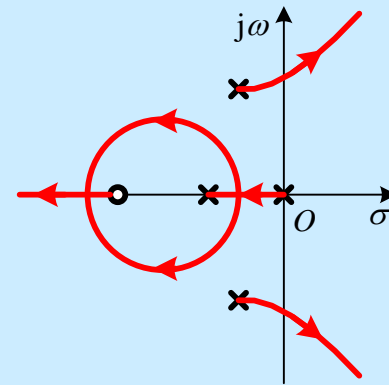
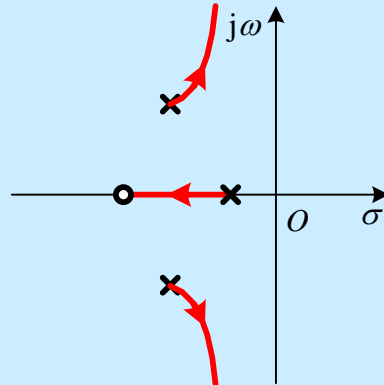
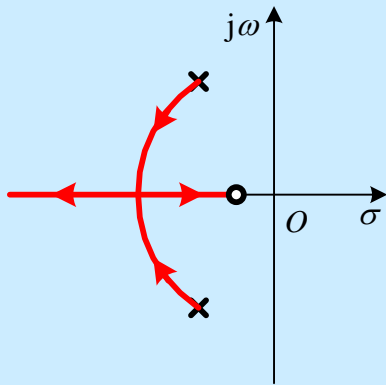
(ix) 利用MATLAB绘制根轨迹

```
num=[1];  
den=[1 4.73 7.56 5.46 0];  
rlocus(num,den)
```



◆ 典型根轨迹





5.4 控制系统的根轨迹分析

5.4.1 条件稳定系统

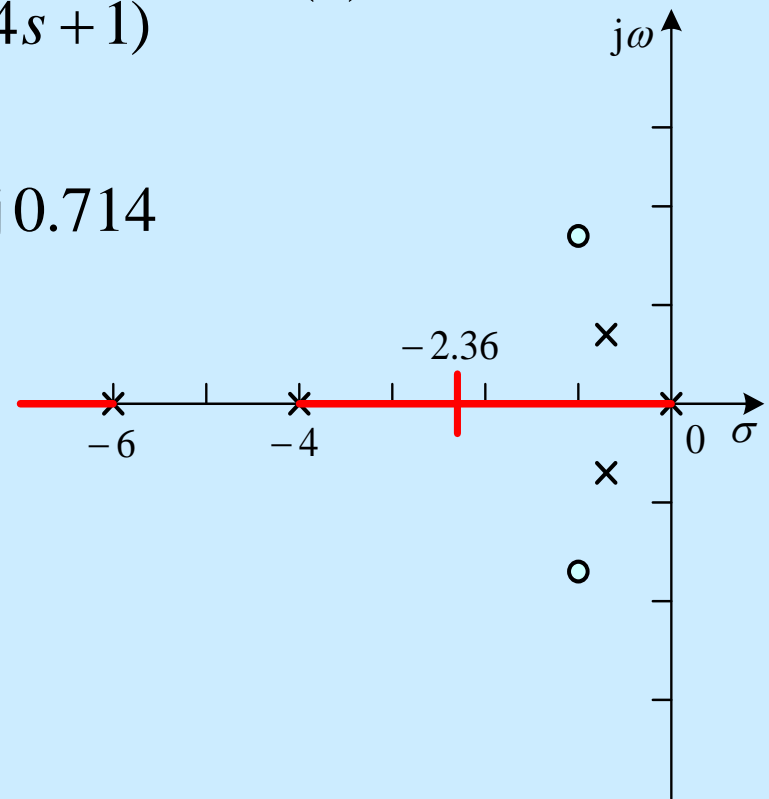
例 5.4.1 给定开环传递函数，确定闭环稳定对应 K 的范围

$$G(s) = \frac{K(s^2 + 2s + 4)}{s(s + 4)(s + 6)(s^2 + 1.4s + 1)} \quad F(s) = 1$$

Solution:

(i) OL极点: $0, -4, -6, -0.7 \pm j0.714$

OL零点: $-1 \pm j1.7321$



会合点: -2.3557

(ii) 与虚轴的交点:

$$f(s) = s^5 + 11.4s^4 + 39s^3 + (43.6 + k)s^2 + (24 + 2K)s + 4K = 0$$

$$\begin{cases} 11.4\omega^4 - (43.6 + K)\omega^2 + 4K = 0 & (1) \end{cases}$$

$$\begin{cases} \omega[\omega^4 - 39\omega^2 + (24 + 2K)] = 0 & (2) \end{cases}$$

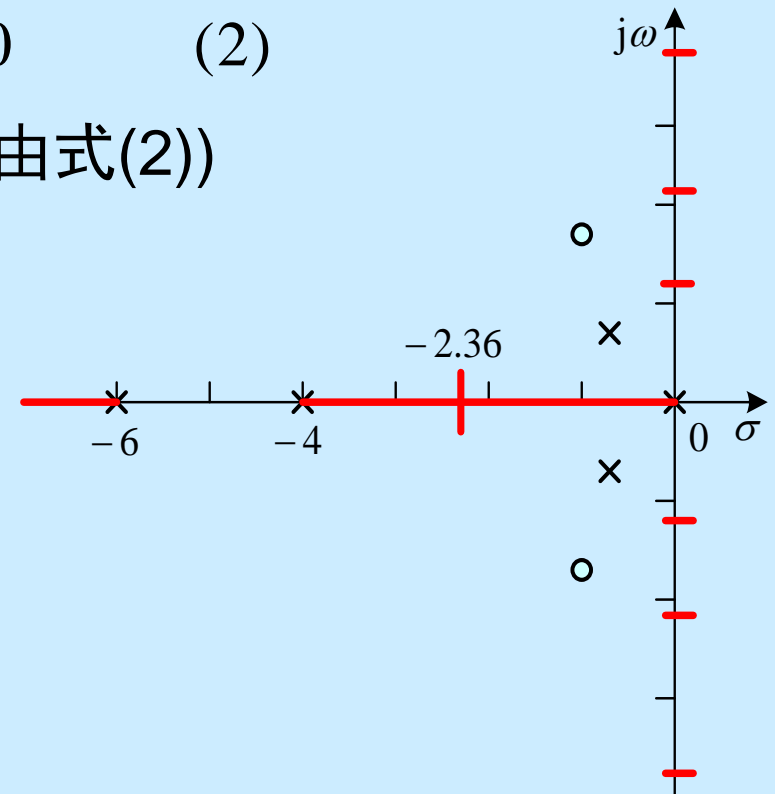
$$K = -0.5\omega^4 + 19.5\omega^2 - 12 \quad (\text{由式(2)})$$

$$\omega^6 - 20.2\omega^4 + 92.9\omega^2 - 96 = 0$$

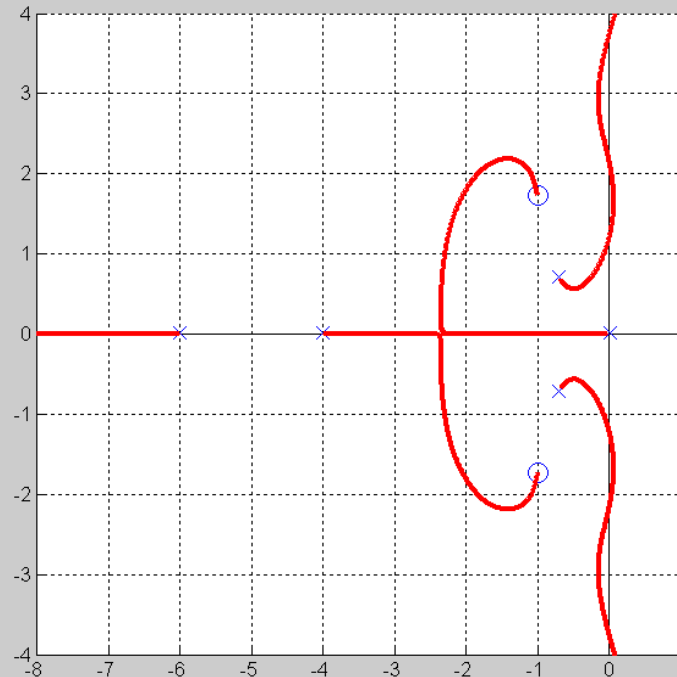
$$\omega_1 = 1.2115 \quad K_1 = 15.54$$

$$\omega_2 = 2.1545 \quad K_2 = 64.74$$

$$\omega_3 = 3.7538 \quad K_3 = 163.51$$



(iii) 根轨迹



(iii) 稳定范围

$$0 < K < 15.54 \quad 64.74 < K < 163.51$$

5.4.2 不同控制器的比较

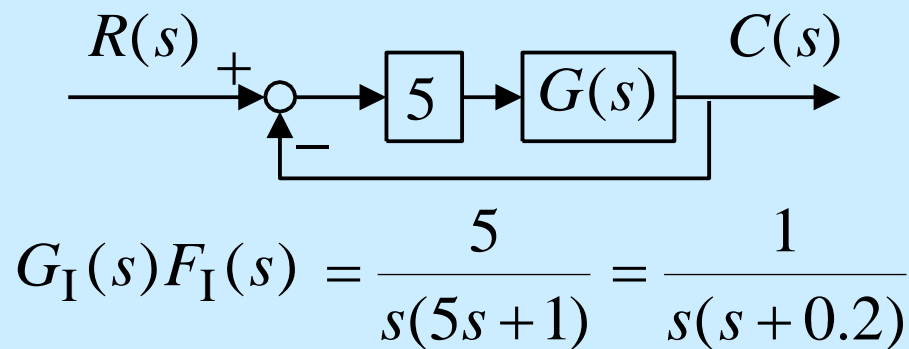
例 5.4.2 对开环传递函数如下的位置伺服系统，比较微分控制和速度反馈控制的影响

$$G(s) = \frac{1}{s(5s + 1)}$$

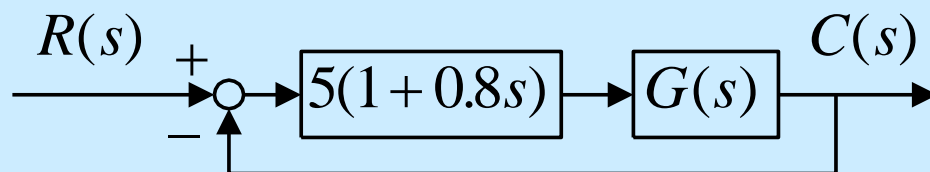
Solution:

(1) 三种回路结构

• **P-控制**

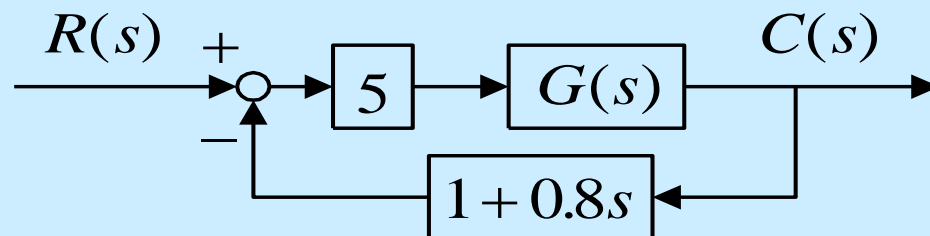


• PD-控制



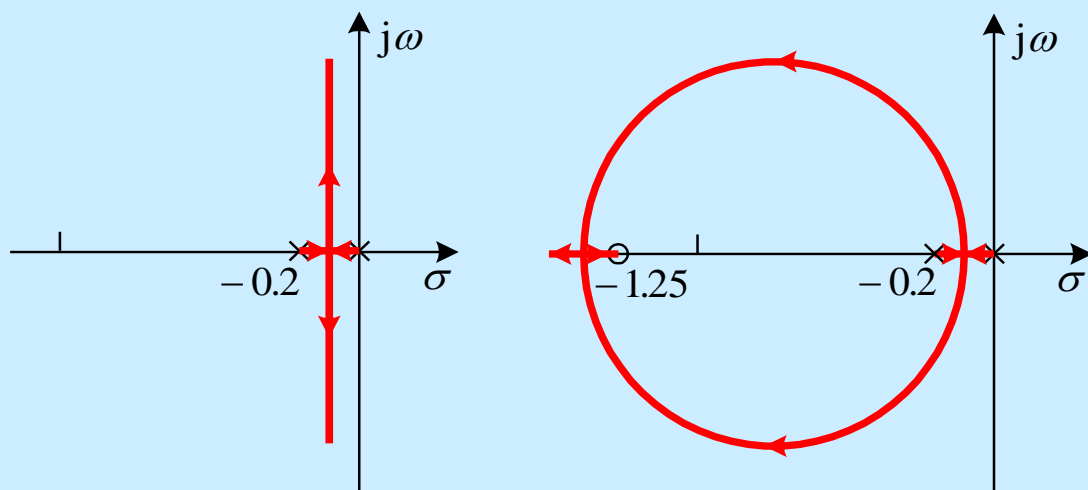
$$G_{\text{II}}(s)F_{\text{II}}(s) = \frac{5(1 + 0.8s)}{s(5s + 1)} = \frac{0.8(s + 1.25)}{s(s + 0.2)}$$

• 速度反馈控制



$$G_{\text{III}}(s)F_{\text{III}}(s) = \frac{5(1 + 0.8s)}{s(5s + 1)} = \frac{0.8(s + 1.25)}{s(s + 0.2)}$$

(2) 根轨迹

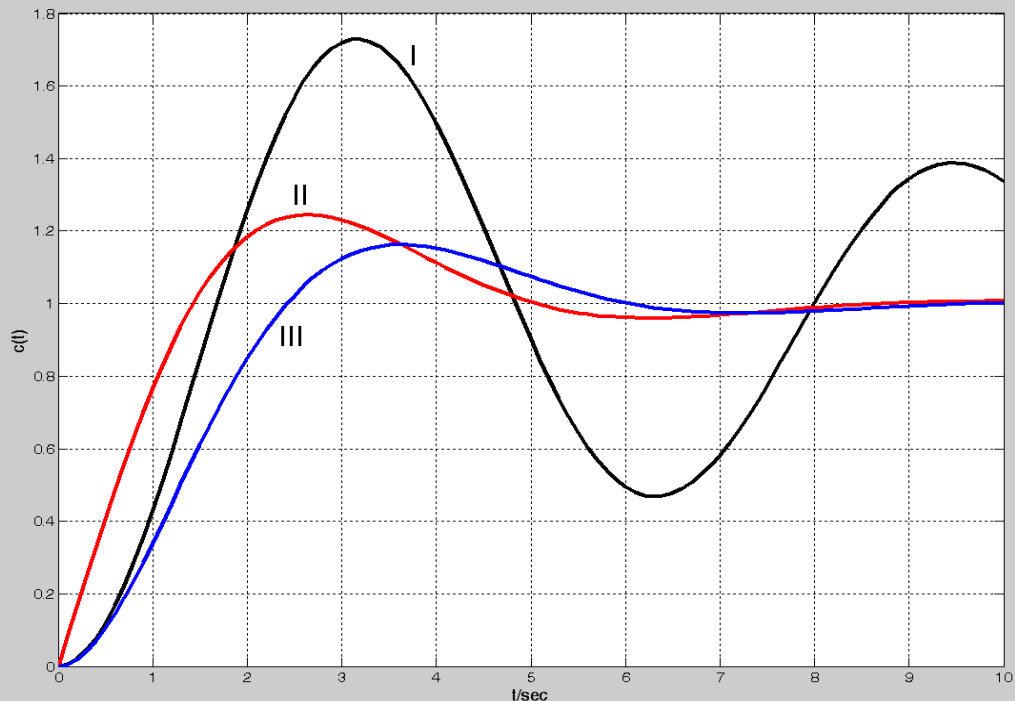


Remarks:

- 系统I $s_{1,2} = -0.1 \pm j0.995$ $\zeta = 0.1$ 强振荡, 衰减慢
- 系统II,III $s_{1,2} = -0.5 \pm j0.866$ $\zeta = 0.5$
能取得更好的性能

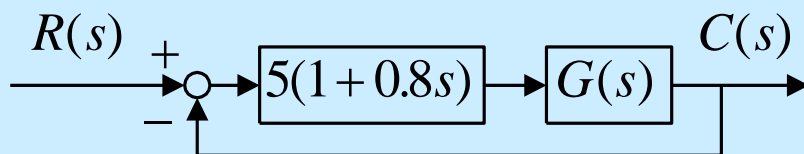
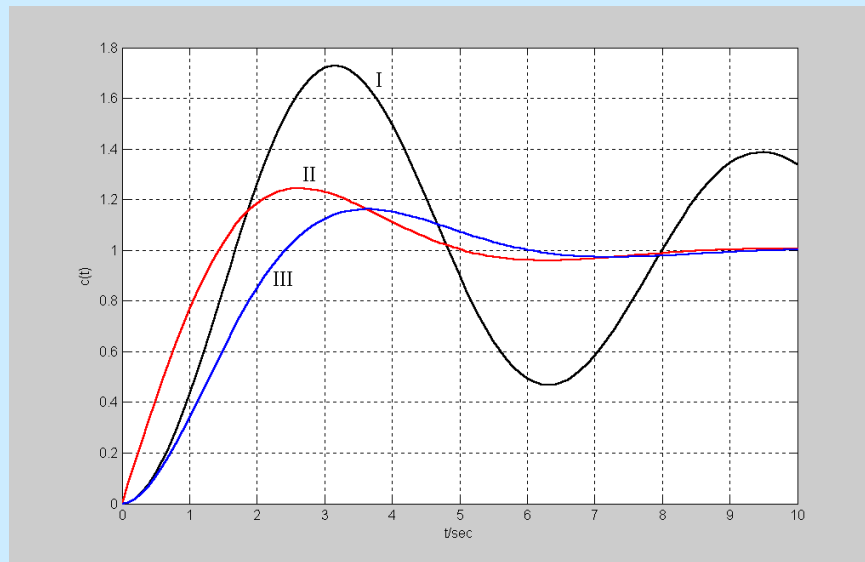
3. 时间响应

- 单位阶跃响应



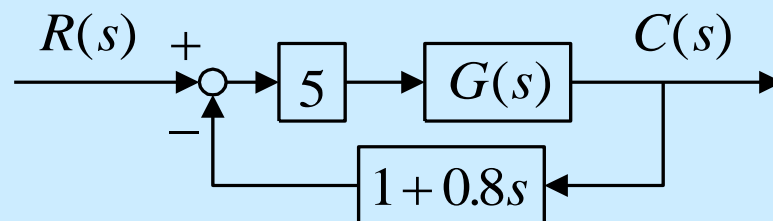
- 系统II: 利用了位置误差的微分, 导致更快的响应
- 系统III: 利用速度反馈, 在误差发生之前进行纠正, 导致更小的超调

* 零点导致系统II和III的差异



$$G(s)_{CL \text{ II}} = \frac{5(1 + 0.8s)}{5s^2 + 5s + 5}$$

$$= \frac{1 + 0.8s}{s^2 + s + 1}$$



$$G(s)_{CL \text{ III}} = \frac{5}{5s^2 + 5s + 5}$$

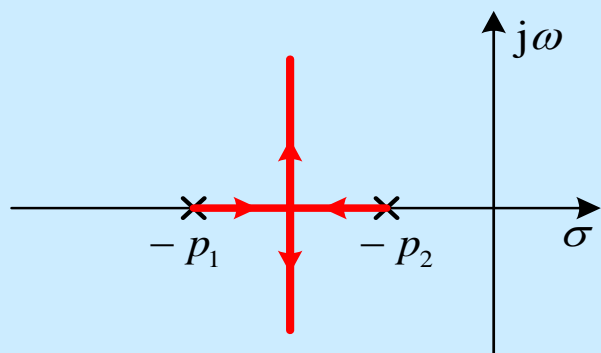
$$= \frac{1}{s^2 + s + 1}$$

5.4.3 零极点对根轨迹的影响

1. 增加零点

例 5.4.3 增加零点

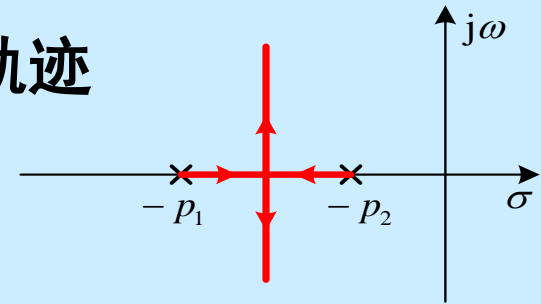
- 原先的开环传递函数和根轨迹



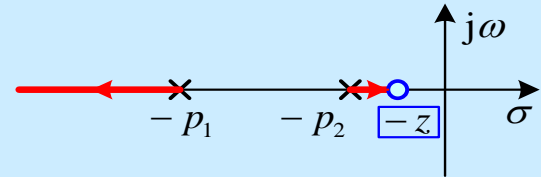
$$G(s)F(s) = \frac{K}{(s + p_1)(s + p_2)}$$
$$p_1 > p_2 > 0$$

- 增加零点之后的开环传递函数和根轨迹

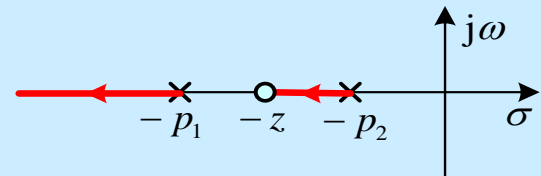
$$G(s)F(s) = \frac{K(s+z)}{(s+p_1)(s+p_2)}$$



$$p_1 > p_2 > z$$

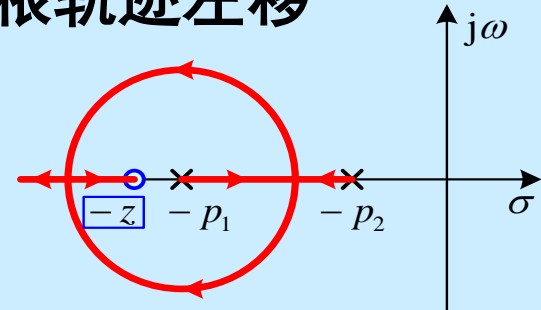


$$p_1 > z > p_2$$



- 如果增加的零点位置合适，可导致根轨迹左移

$$z > p_1 > p_2$$



● 增加不同零点后的系统阶跃响应

$$\frac{7(s + 0.5)}{0.5(s + 1)(s + 3)}$$

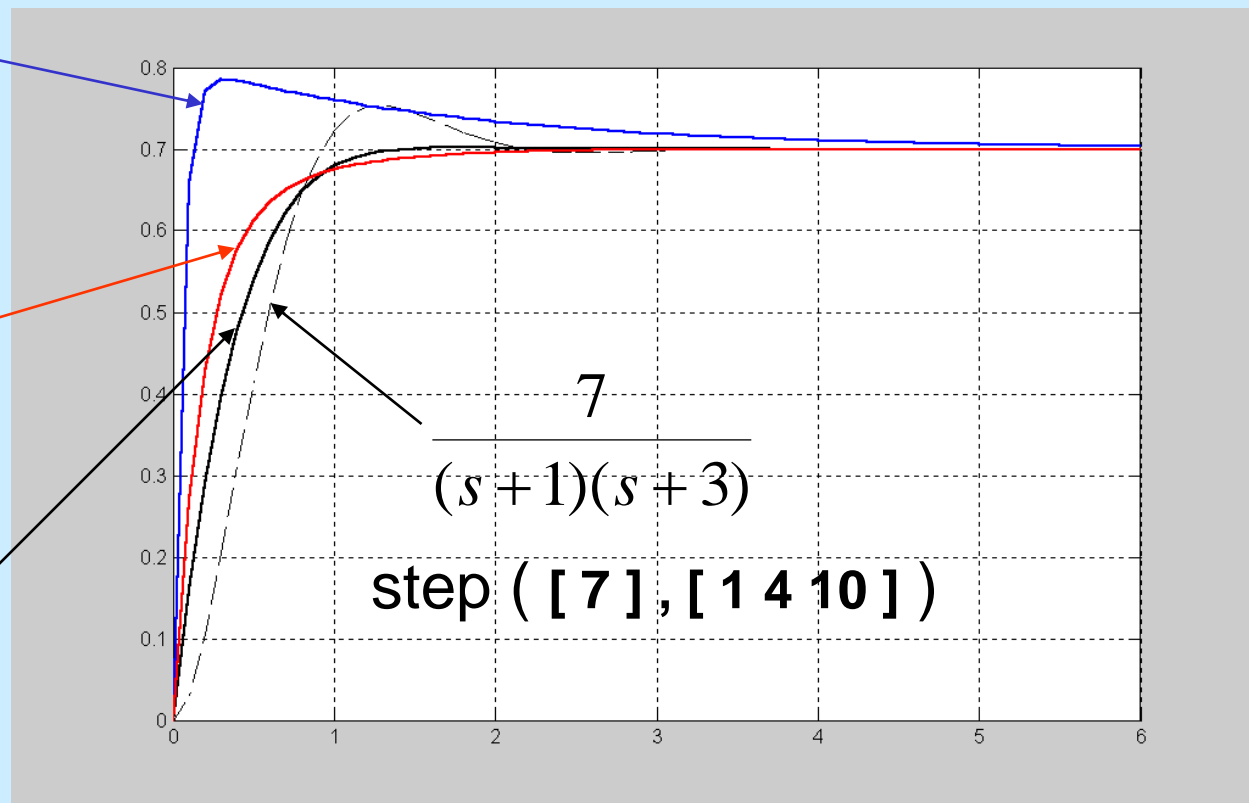
(blue)

$$\frac{7(s + 2)}{2(s + 1)(s + 3)}$$

(red)

$$\frac{7(s + 4)}{4(s + 1)(s + 3)}$$

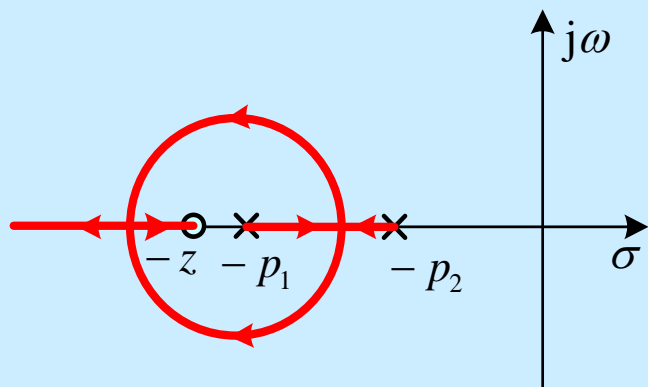
(Black)



2. 增加极点

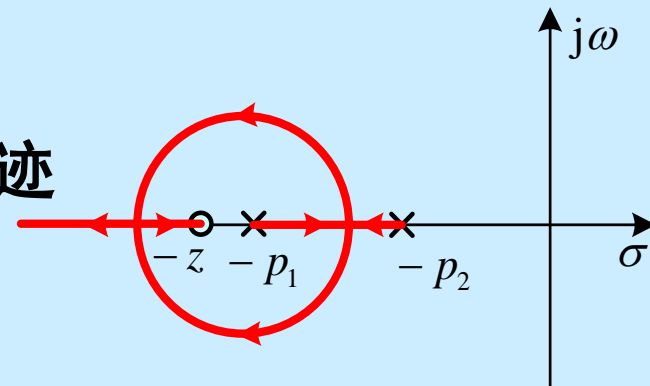
例 5.4.4 增加极点

- 原先的开环传递函数和根轨迹



$$G(s)F(s) = \frac{K(s + z)}{(s + p_1)(s + p_2)}$$
$$z > p_1 > p_2$$

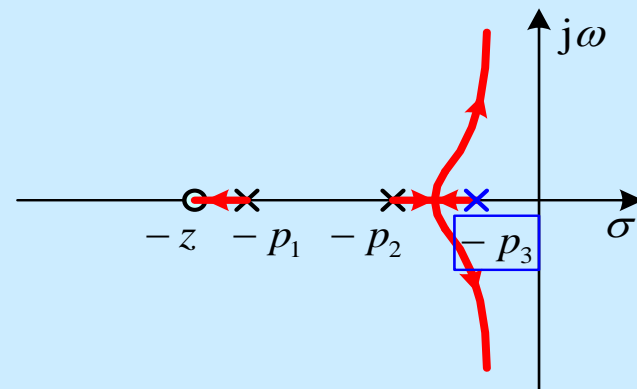
- 增加极点后的开环传递函数和根轨迹



$$G(s)F(s) =$$

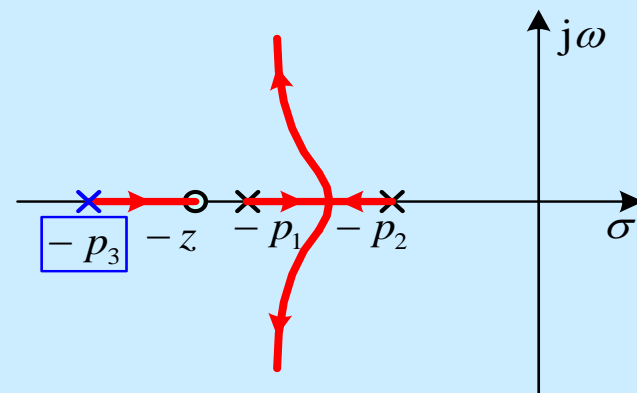
$$\frac{K(s+z)}{(s+p_1)(s+p_2)(s+p_3)}$$

$$p_2 > p_3$$



- 增加极点导致根轨迹右移

$$p_3 > z$$



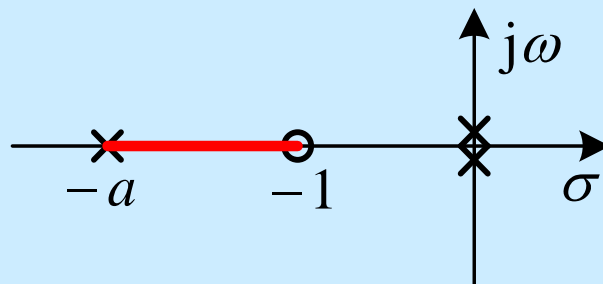
3. 零点或极点移动对根轨迹的影响

例 5.4.5 绘制系统在不同 a 时的根轨迹

Solution:

$$G(s)F(s) = \frac{K(s+1)}{s^2(s+a)} \quad a > 0$$

- 实轴上的根轨迹



- 检验 $(-a, -1)$ 上是否有分离会合点很重要

$$K = -\frac{A(s)}{B(s)} = -\frac{s^2(s+a)}{s+1}$$

$$\frac{dK}{ds} = 0 \Rightarrow A(s)B'(s) = A'(s)B(s)$$

$$s^2(s+a) = (3s^2 + 2as)(s+1)$$

$$2s^2 + (a+3)s + 2a = 0$$

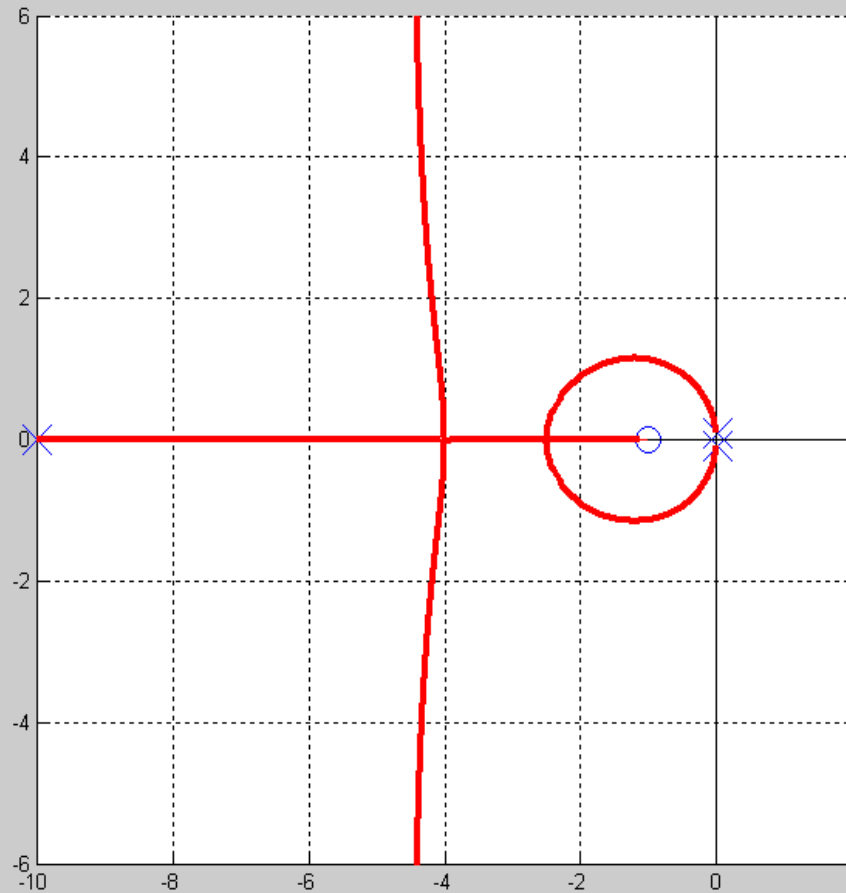
$$s = \frac{-(a+3) \pm \sqrt{a^2 - 10a + 9}}{4}$$

- 分离会合点存在的条件

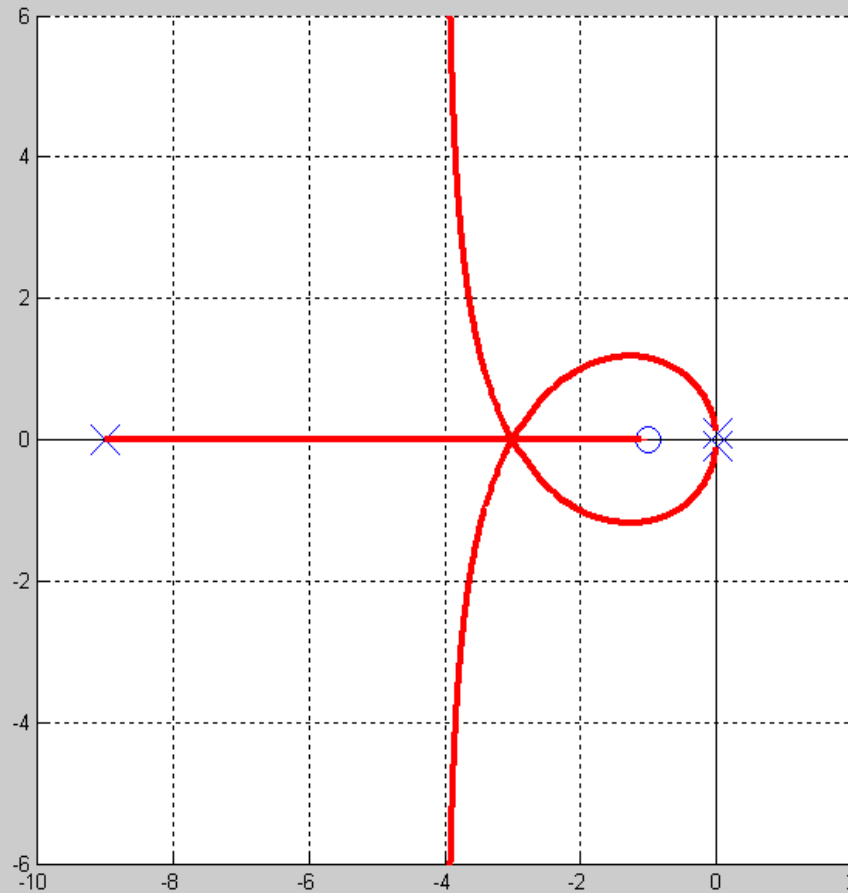
$$a^2 - 10a + 9 \geq 0$$

i.e. $a \leq 1$ $a \geq 9$

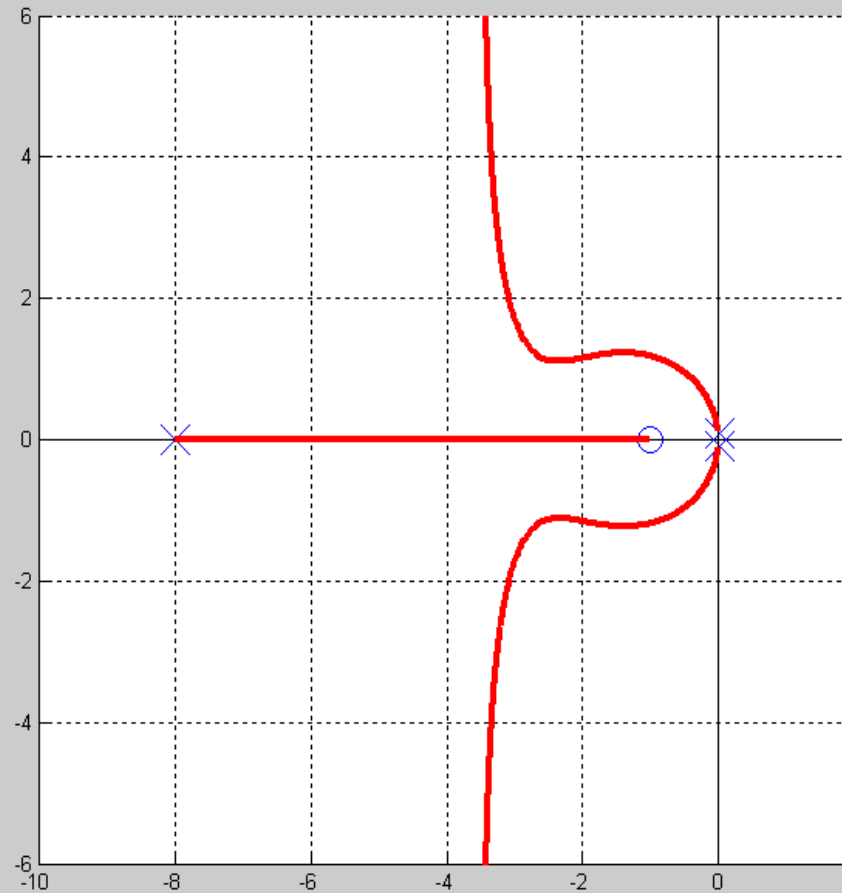
(i) $a = 10 \geq 9$ $s_{1,2} = -4, -2.5$



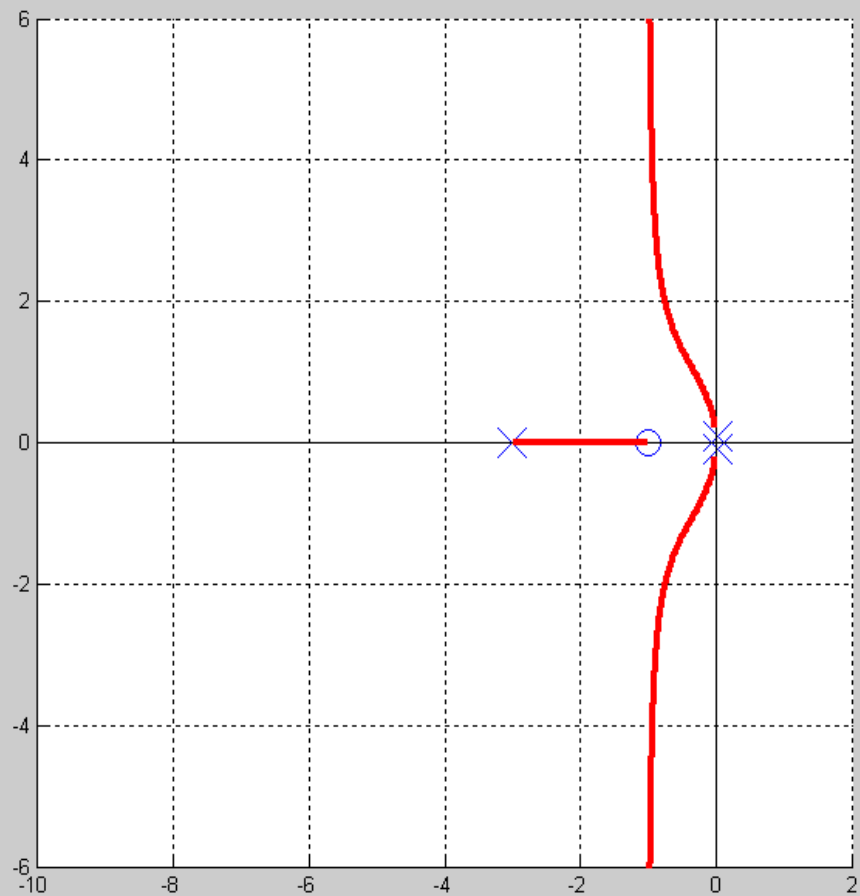
(ii) $a = 9$: $s_{1,2} = -3, -3$



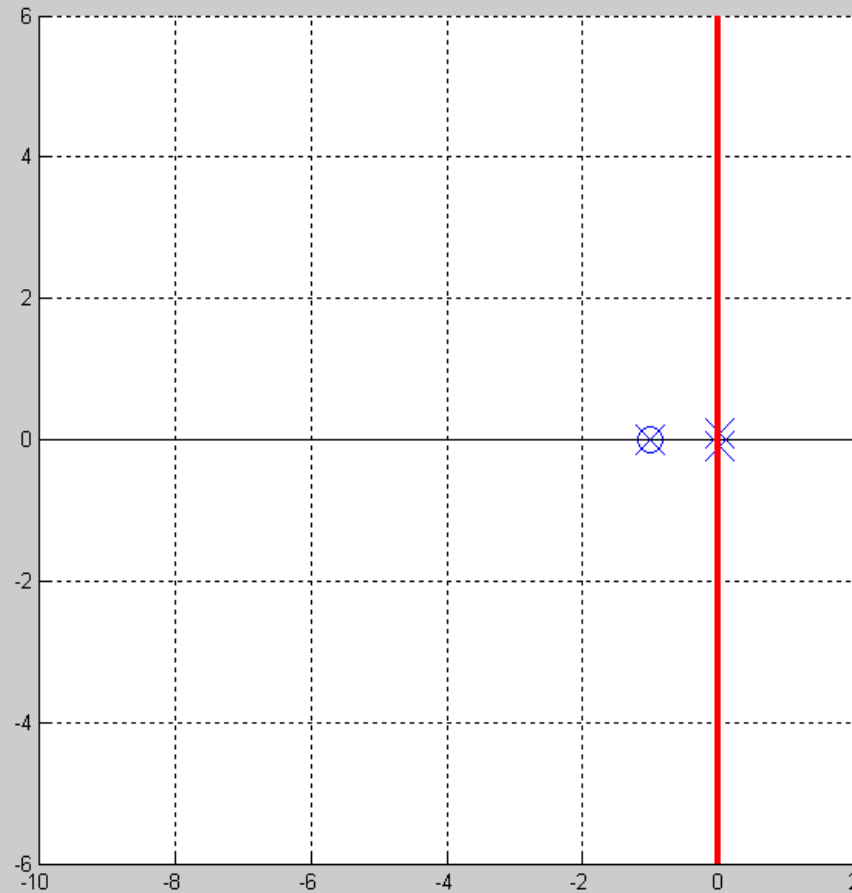
(iii) $a = 8$: 没有分离会合点



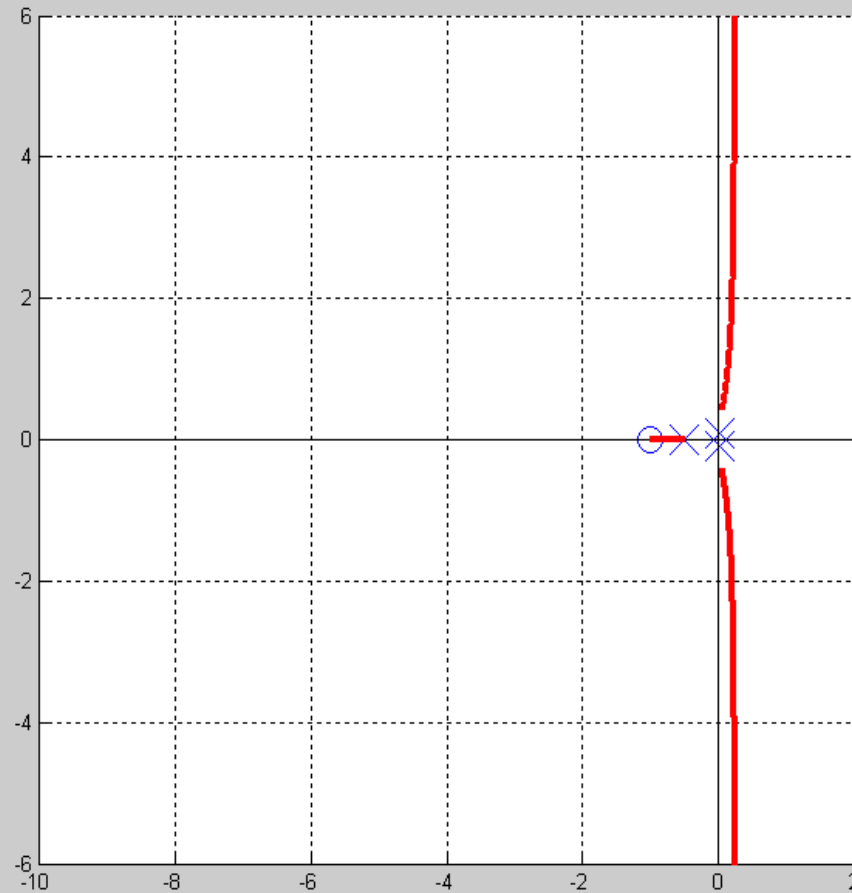
(iv) $a = 3$

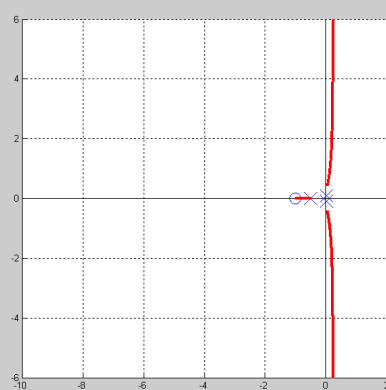
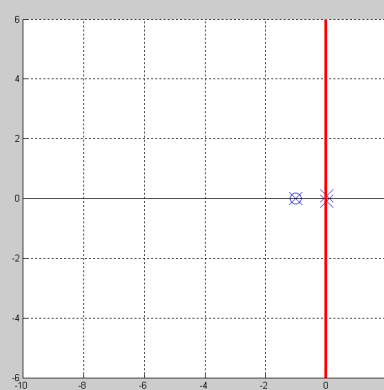
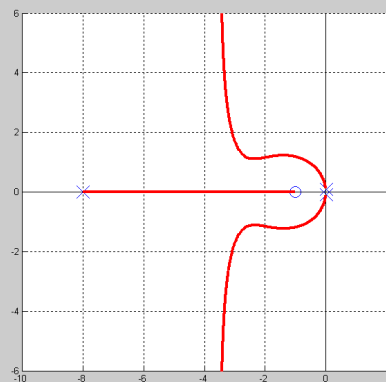
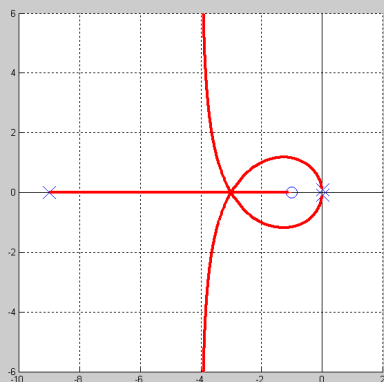
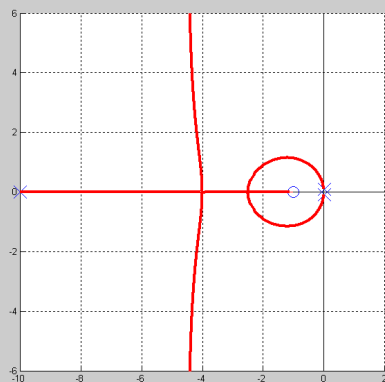


(v) $a = 1$: $G(s)F(s) = \frac{K}{s^2}$



(vi) $a = 0.5$





- 开环极点的微小变化可能导致闭环根轨迹的巨大变化

5.4.4 参数根轨迹和根轨迹簇

- 如何研究增益以外的参数的变化对闭环极点的影响？
- 如何研究多个参数的变化对闭环极点的影响？

1. 参数根轨迹

- 指闭环极点相对特定参数的函数
- 令闭环特征方程为： $A(s, K_1) + KB(s, K_1) = 0$
- 将其重新整理如下

$$P(s) + K_1 Q_1(s) = 0$$

其中 $P(s)$, $Q_1(s)$ 为多项式, K_1 可以不是开环增益

- 闭环特征方程等价为

$$1 + \frac{K_1 Q_1(s)}{P(s)} = 1 + G_1(s) = 0$$

- 参数根轨迹可以利用等价开环传递函数随着 K_1 的变化来绘制

$$G_1(s) = \frac{K_1 Q_1(s)}{P(s)}$$

例 5.4.6 已知负反馈系统的开环传递函数如下，研究随 a 变化的闭环稳定性

$$G(s) = \frac{2(s+1)}{s^2(s+a)} \quad a > 0$$

Solution :

- 闭环特征方程为

$$\varphi(s) = s^3 + as^2 + 2s + 2 = 0$$

- 闭环特征方程重写如下

$$1 + \frac{as^2}{s^3 + 2s + 2} = 0$$

- 等价开环传递函数

$$G_1(s) = \frac{as^2}{s^3 + 2s + 2}$$

- 参数根轨迹

OL极点:

$$0.386 \pm j 1.564$$

$$-0.771$$

OL零点:

$$0$$

$$0$$

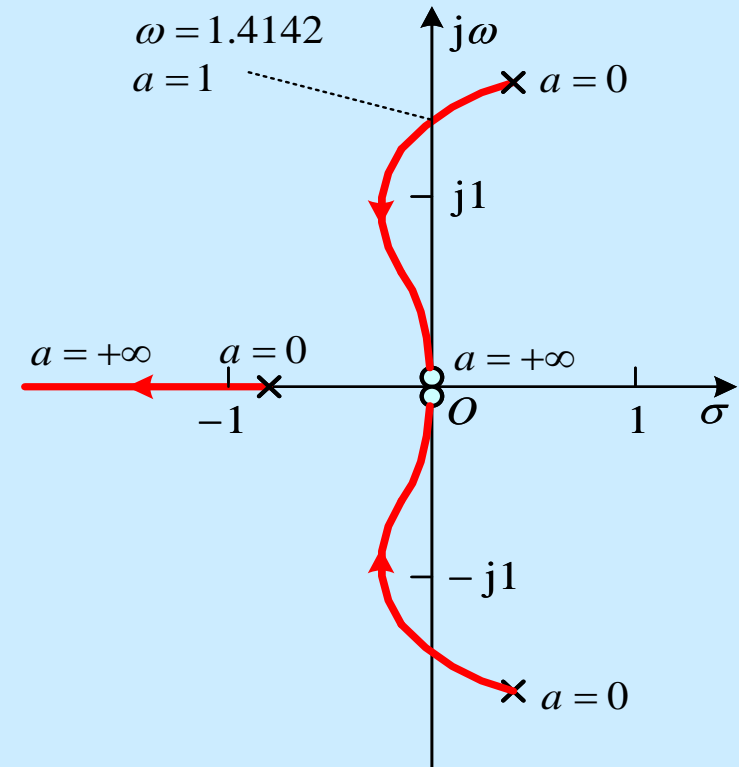
- 与虚轴的交点

$$\omega = 1.4142$$

$$a = 1$$

- 闭环稳定的条件

$$a > 1$$



2. 根轨迹簇

- 指闭环极点为两个特定参数的函数
- 令闭环特征方程如下

$$P(s) + K_1 Q_1(s) + K_2 Q_2(s) = 0$$

其中 $P(s)$, $Q_1(s)$, $Q_2(s)$ 为多项式

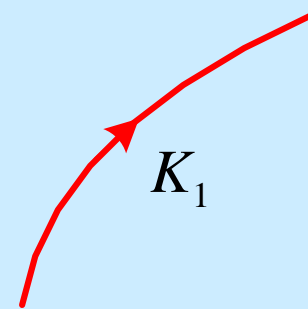
- (1) 令 $K_2 = 0$, 则 $P(s) + K_1 Q_1(s) = 0$

$$1 + \frac{K_1 Q_1(s)}{P(s)} = 0$$

- 相应的等价开环传递函数为

$$G_1(s)F_1(s) = \frac{K_1 Q_1(s)}{P(s)}$$

- $K_1 = 0 \rightarrow \infty$ 对应的根轨迹代表了 $P(s) + K_1 Q_1(s) = 0$ 的根



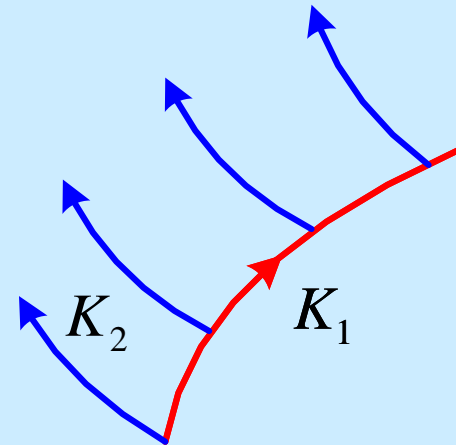
(2) 闭环特征方程改写如下

$$1 + \frac{K_2 Q_2(s)}{P(s) + K_1 Q_1(s)} = 0$$

- 相应的开环传递函数为

$$G_2(s)F_2(s) = \frac{K_2 Q_2(s)}{P(s) + K_1 Q_1(s)}$$

- $G_2(s)F_2(s)$ 的开环极点：
位于 $G_1(s)F_1(s)$ 的根轨迹上
- $G_2(s)F_2(s)$ 的根轨迹始于 $G_1(s)F_1(s)$ 给定 K_1 时的根
- 随着 K_1 的变化形成了根轨迹的集合



例 5.4.7 给定如下开环传递函数，绘制 K 和 a 变化的根轨迹簇

$$G(s) = \frac{K}{s(s+a)} \quad F(s) = 1 \quad K > 0 \quad a > 0$$

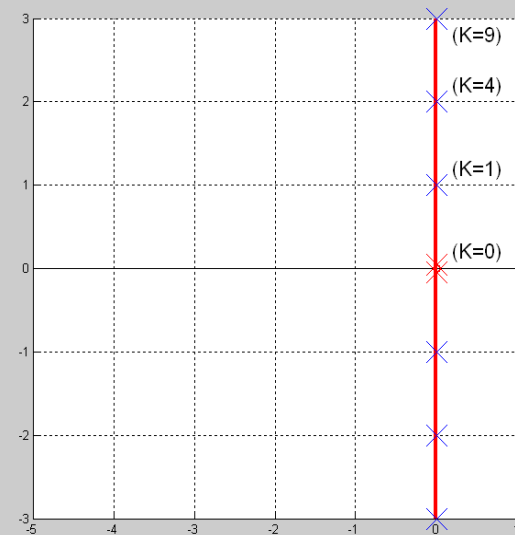
Solution:

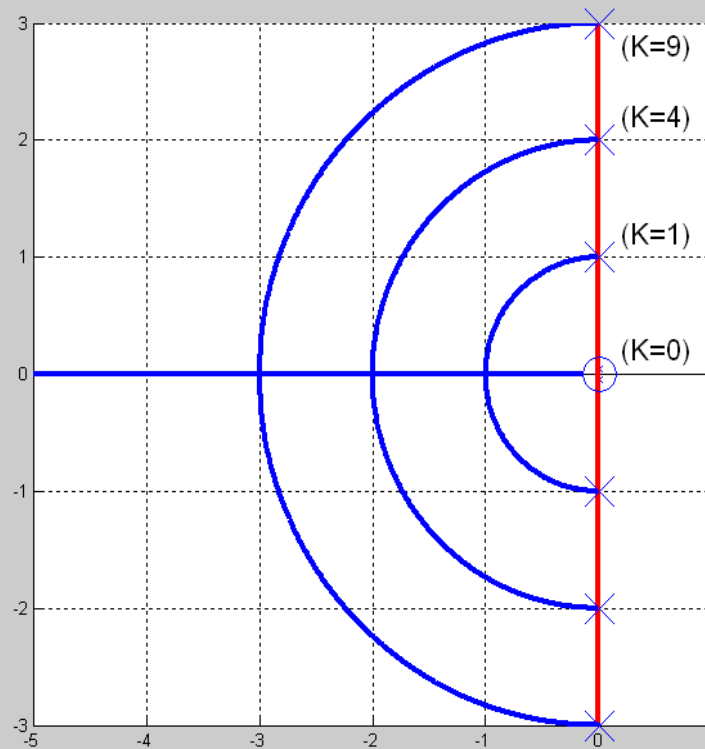
CL特征方程: $s^2 + as + K = 0$

(i) 令 $a = 0$, 则 $s^2 + K = 0$

$$G_1(s)F_1(s) = \frac{K}{s^2}$$

- 根轨迹恰好是虚轴





(ii) 令K为常数,
则

$$1 + \frac{as}{s^2 + K} = 0$$

- 绘制 $G(s)F(s) = \frac{as}{s^2 + K}$ 的根轨迹

OL极点: $\pm j\sqrt{K}$ OL零点: 0

5.4.5 纯时滞系统, $W(s)$ 是有理分式

$$G(s)F(s) = KW(s)e^{-Ts} \quad K > 0$$

1. 根轨迹条件

• 令 $s = \sigma + j\omega$, 则 $e^{-Ts} = e^{-T\sigma - jT\omega}$

• CL特征方程: $1 + KW(s)e^{-Ts} = 0$

$$KW(s)e^{-T\sigma - jT\omega} = -1$$

• 由于 $\left\{ \begin{array}{l} |G(s)F(s)| = |KW(s)| e^{-T\sigma} \\ \arg[G(s)F(s)] = \arg W(s) - T\omega \end{array} \right. \left. \begin{array}{l} = 1 \\ = -(2k+1)\pi \end{array} \right\}$

• 从而

$$\left\{ \begin{array}{l} |KW(s)| e^{-T\sigma} = 1 \\ \arg W(s) = \pm(2k+1)\pi + \omega T \end{array} \right. \quad k = 0, 1, 2, \dots$$

2. 性质

(1) 出发点 ($K = 0$)

$$\lim_{K \rightarrow 0} \frac{1}{K} = \infty \quad \lim_{K \rightarrow 0} |W(s)| e^{-T\sigma} = \infty$$

- $W(s)$ 的所有极点和 $\sigma \rightarrow -\infty$ 的点

(2) 终止点 ($K \rightarrow \infty$)

$$\lim_{K \rightarrow \infty} \frac{1}{K} = 0 \quad \lim_{K \rightarrow \infty} |W(s)| e^{-T\sigma} = 0$$

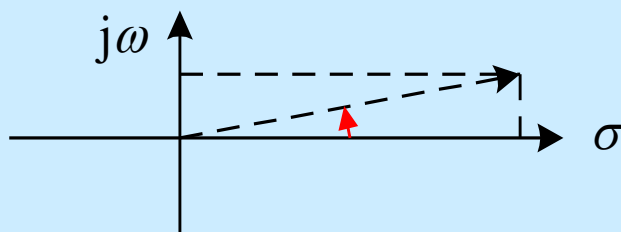
- $W(s)$ 的所有零点和 $\sigma \rightarrow +\infty$ 的点

(3) 渐近线

• 当 $K \rightarrow 0$ 和 $K \rightarrow \infty$ 时, $s \rightarrow \infty$, 则

$$\arg W(s) \Big|_{s \rightarrow \infty} = \arg \frac{1}{s^{n-m}} = -(n-m) \arctan \frac{\omega}{\sigma}$$

◆ $\sigma \rightarrow +\infty$



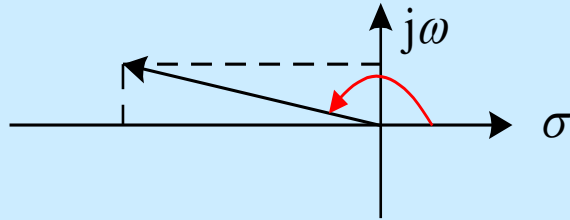
$$\arctan \frac{\omega}{\sigma} \rightarrow 0$$

$$\arg W(s) = 0$$

$$\arg W(s) = \pm(2k+1)\pi + \omega T = 0$$

$$\omega = \frac{\pm(2k+1)\pi}{T} \quad k = 0, 1, 2, \dots$$

◆ $\sigma \rightarrow -\infty$



$$\arctan \frac{\omega}{\sigma} \rightarrow \pi$$

$$\arg W(s) = -(n-m)\pi$$

$$\arg W(s) = \pm(2k+1)\pi + \omega T = -(n-m)\pi$$

$$\omega = -\frac{(n-m) \pm (2k+1)}{T} \cdot \pi$$

• 如果 $n-m$ 为奇数

$$\omega = \frac{2k\pi}{T} \quad k = 0, \pm 1, \pm 2, \dots$$

• 如果 $n-m$ 为偶数

$$\omega = \frac{(2k+1)\pi}{T} \quad k = 0, \pm 1, \pm 2, \dots$$

• 所有渐近线平行于实轴

(4) 分支数：无穷多

(5) 实轴上的根轨迹

- 与 $G(s)F(s) = KW(s)$ 相同
因为 $\omega = 0$

(6) 分离点

$$\frac{dK}{ds} = 0 \quad \frac{d}{ds} \left[-\frac{e^{Ts}}{W(s)} \right] = 0$$

例 5.4.8 系统开环传递函数如下，绘制根轨迹

$$G(s) = \frac{Ke^{-Ts}}{s+1} \quad F(s) = 1 \quad T=1$$

Solution:

(i) $W(s) = \frac{1}{s+1}$

$$K = -(s+1)e^{Ts}$$

(ii) 渐近线:

$$\sigma \rightarrow +\infty$$

$$\omega = \pm\pi, \pm 3\pi, \pm 5\pi, \dots$$

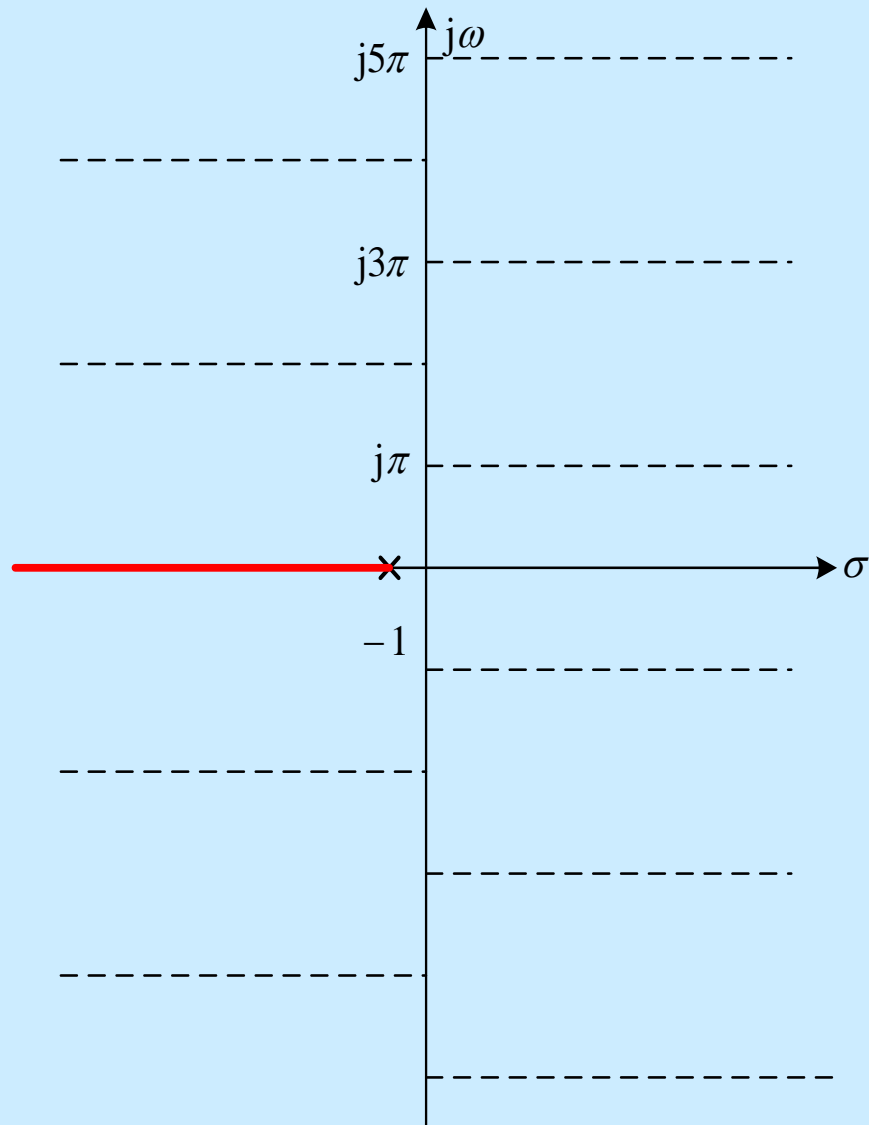
$$\sigma \rightarrow -\infty$$

($n - m = 1$: 奇数)

$$\omega = 0, \pm 2\pi, \pm 4\pi, \dots$$

(iii) 实轴上根轨迹:

$$(-\infty, -1)$$

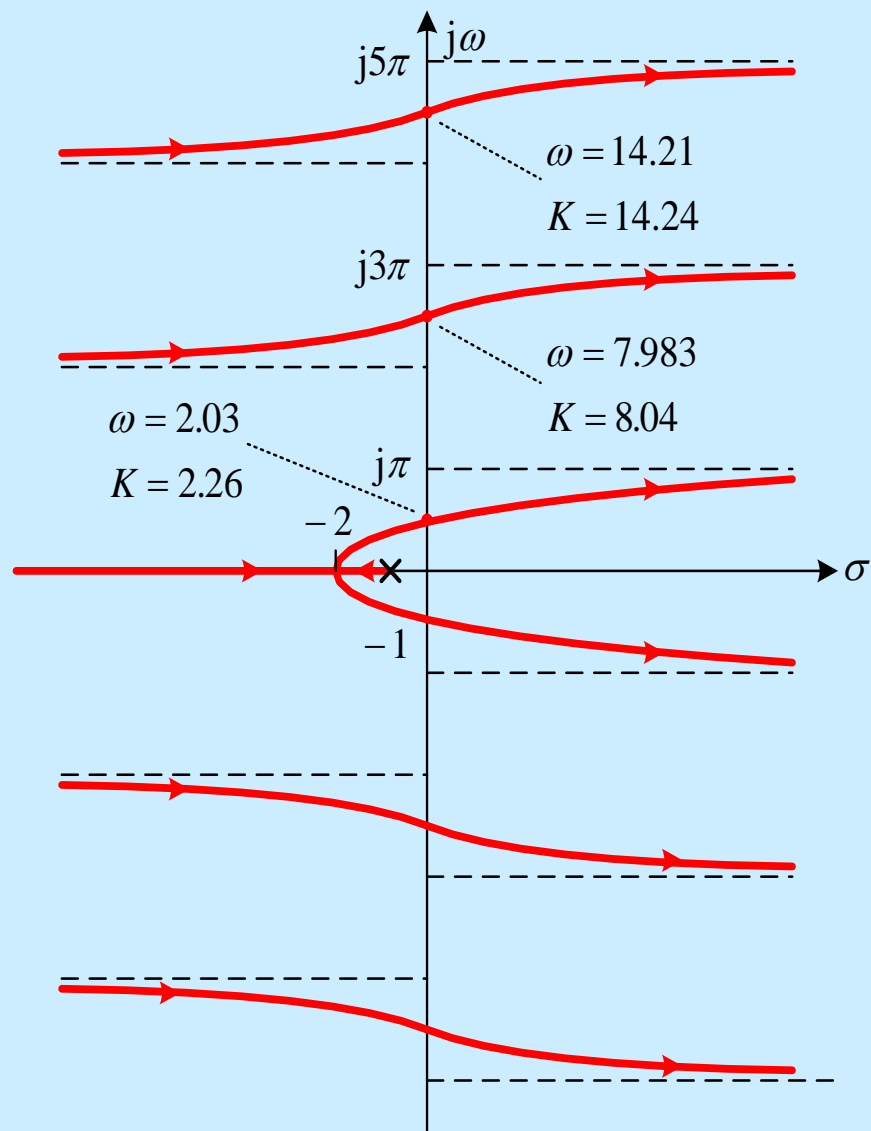


(iv) 分离点

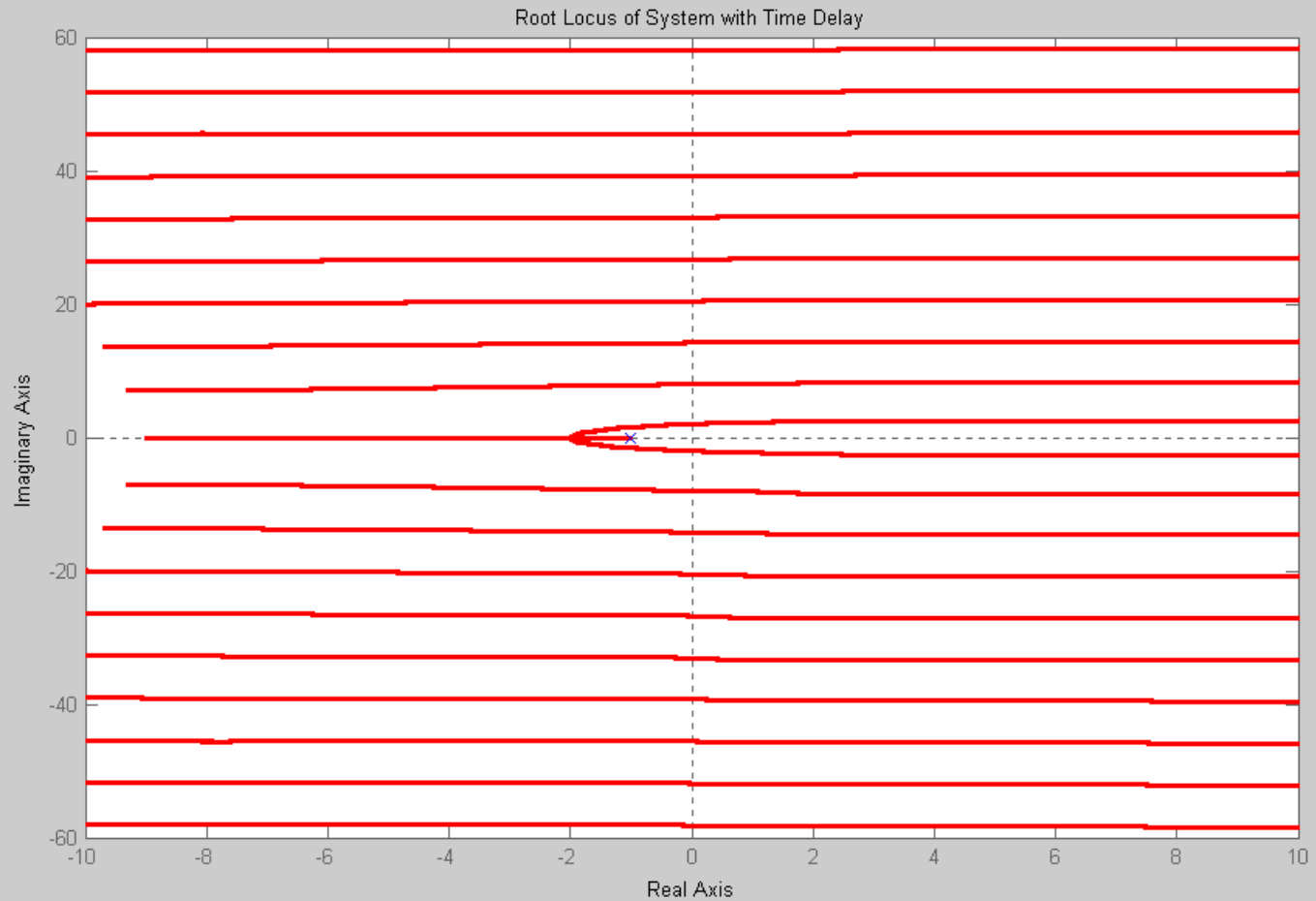
$$\begin{aligned}\frac{d}{ds} \left[-(s+1)e^{Ts} \right] \\&= -T(s+1)e^{Ts} - e^{Ts} \\&= e^{Ts}(-Ts - T - 1) = 0 \\s &= -\frac{T+1}{T} = -2\end{aligned}$$

(v) 根轨迹

* 时滞导致不稳定性

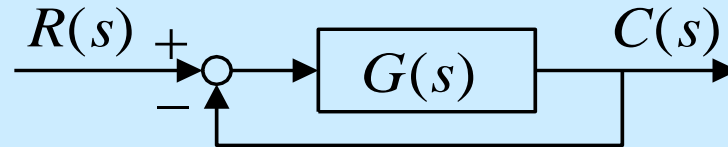


(vi) 较大范围内的根轨迹



5.5 补根轨迹

1. 一些非最小相位系统的根轨迹条件



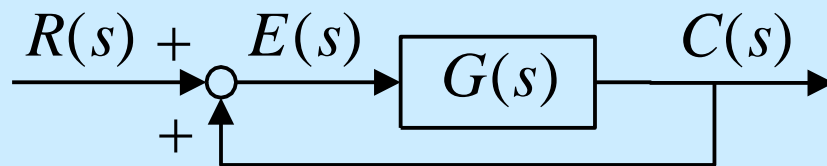
$$G(s) = \frac{K(1 - T_1 s)}{s(1 + Ts)} \quad T_1 > 0 \quad K > 0 \quad T > 0$$

• 相角条件

$$\begin{aligned} \arg G(s) &= \arg \frac{K(1 - T_1 s)}{s(1 + Ts)} = \arg \left[-\frac{K(T_1 s - 1)}{s(Ts + 1)} \right] \\ &= \pi + \arg \left[\frac{K(T_1 s - 1)}{s(Ts + 1)} \right] = \pm(2k + 1)\pi \end{aligned}$$

$$\arg \frac{K(T_1 s - 1)}{s(Ts + 1)} = \pm 2k\pi \quad k = 0, 1, 2, \dots$$

2. 正反馈结构系统的根轨迹条件



$$\begin{aligned} C(s) &= G(s)E(s) = G(s)[R(s) + C(s)] \\ &= G(s)R(s) + G(s)C(s) \end{aligned}$$

$$\frac{C(s)}{R(s)} = \frac{G(s)}{1 - G(s)}$$

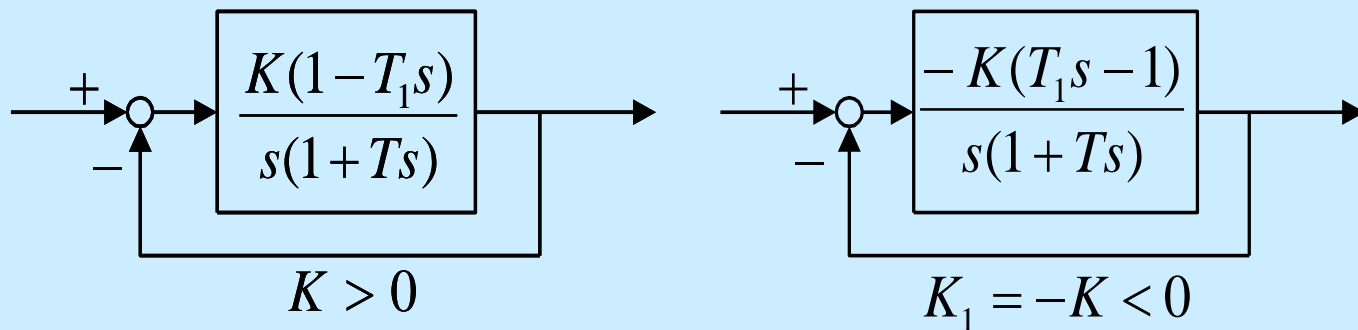
● **CL系统的特征方程** $1 - G(s) = 0$ $G(s) = 1$

● **相角条件:** $\arg G(s) = \pm 2k\pi$ $k = 0, 1, 2, \dots$

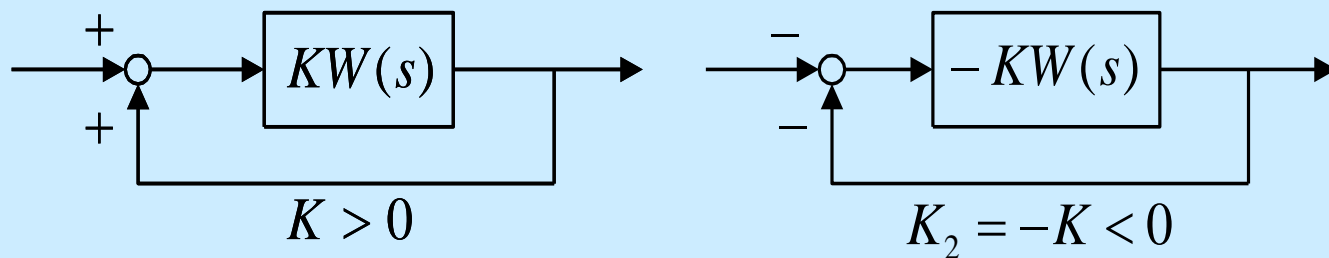
◆ **注:** $\arg G(s) = -(2k+1)\pi$ 不再是绘制根轨迹的充分条件

3. 补根轨迹和全根轨迹

- 非最小相位系统



- 正反馈系统



- ◆ 系统分析需要讨论负增益时的根轨迹

负反馈系统的开环传递函数如下：

$$G(s)F(s) = \frac{K(s - z_1) \cdots (s - z_m)}{(s - p_1)(s - p_2) \cdots (s - p_n)}$$

$$0 < K < \infty$$

根轨迹

$$-\infty < K < 0$$

补根轨迹

$$-\infty < K < \infty$$

全根轨迹

4. 绘制负反馈系统在 $K < 0$ 时的根轨迹

◆ $K < 0$ 时根轨迹的条件

- **CL特征方程** $G(s)F(s) = KW(s) = -1 \quad K < 0$

- 令 $K' = -K$, 则

$$K'W(s) = 1 \quad K' > 0$$

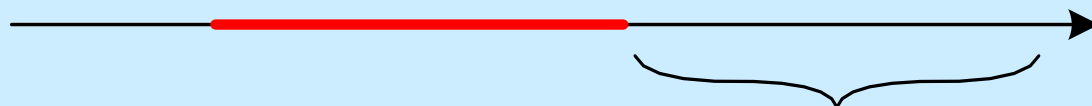
- **根轨迹条件:**

$$\begin{cases} |K'W(s)| = 1 \\ \arg W(s) = \pm 2k\pi, \quad k = 0, 1, 2, \dots \end{cases}$$

- **所有与相角条件相关的性质需要修改**

◆ 性质修改

● 实轴上的根轨迹



实零极点总数为偶数

● 渐近线

$$\gamma = \frac{\pm 2k\pi}{n-m}, \quad k = 0, 1, 2, \dots, n-m-1$$

● 出发角和入射角

$$\varphi_{pr} = \pm 2k\pi + \sum_{i=1}^m \arg(p_r - z_i) - \sum_{\substack{j=1 \\ j \neq r}}^n \arg(p_r - p_j)$$

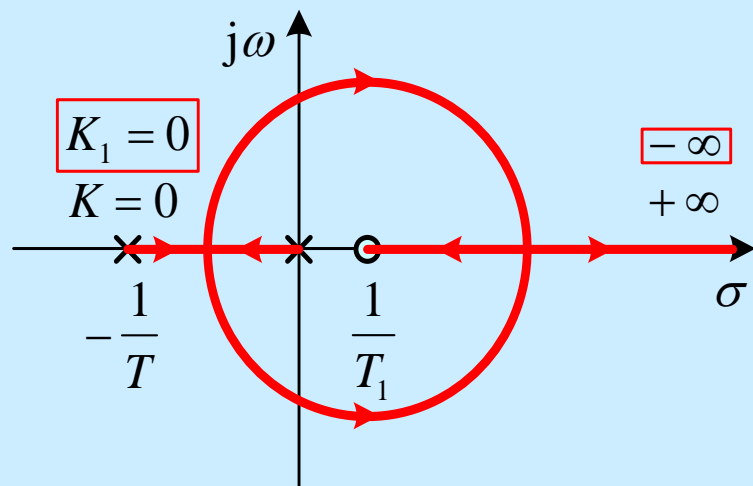
$$\varphi_{zr} = \pm 2k\pi - \sum_{\substack{i=1 \\ i \neq r}}^m \arg(z_r - z_i) + \sum_{j=1}^n \arg(z_r - p_j)$$

例 5.5.1 绘制根轨迹

$$G(s)F(s) = \frac{K(1 - T_1 s)}{s(Ts + 1)}, \quad K > 0, T_1 > 0, T > 0$$

Solution: • 重写开环传递函数

$$G(s)F(s) = \frac{-K(T_1 s - 1)}{s(Ts + 1)} = \frac{K_1 \left(s - \frac{1}{T_1} \right)}{s \left(s + \frac{1}{T} \right)}$$



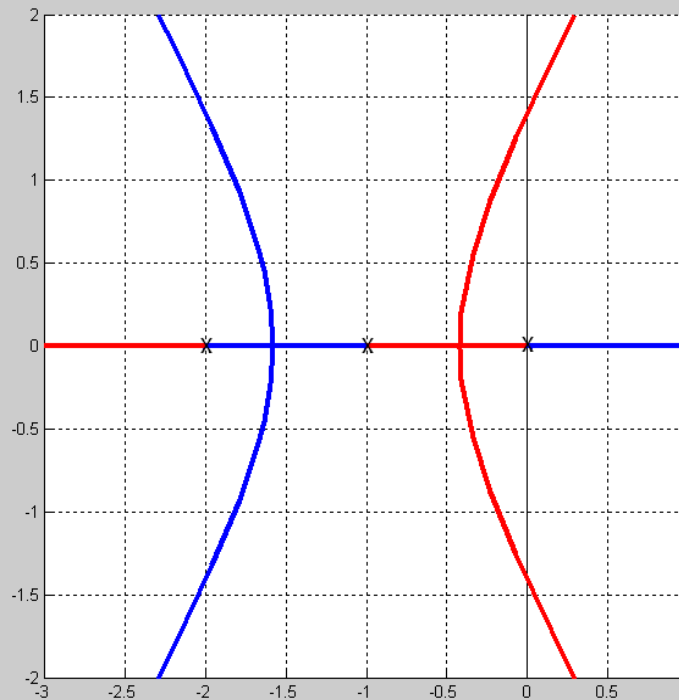
其中 $K_1 = \frac{-KT_1}{T} < 0$

• $0 < K < \infty$ 时的根轨迹就是 $-\infty < K_1 < 0$ 时的补根轨迹

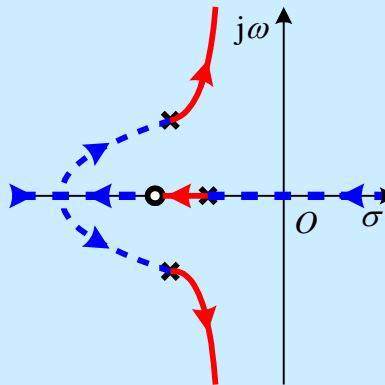
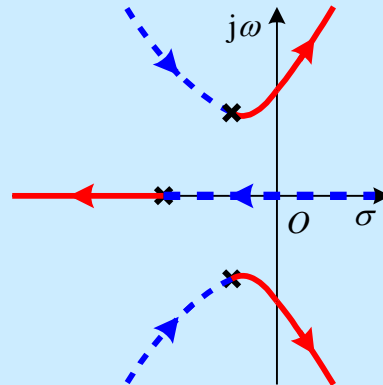
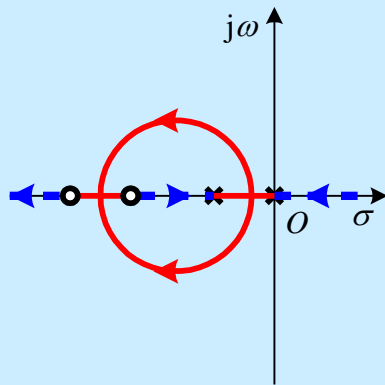
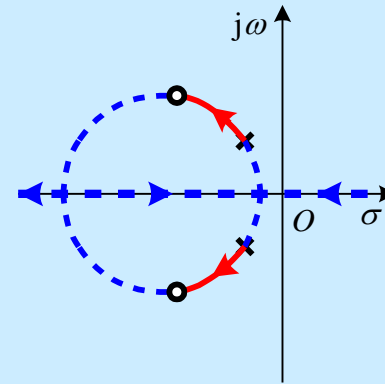
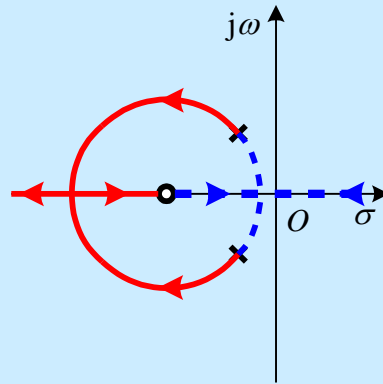
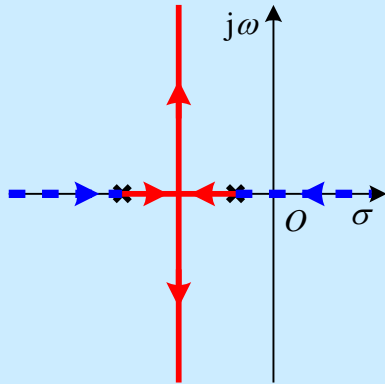
例 5.5.2 绘制系统的全根轨迹

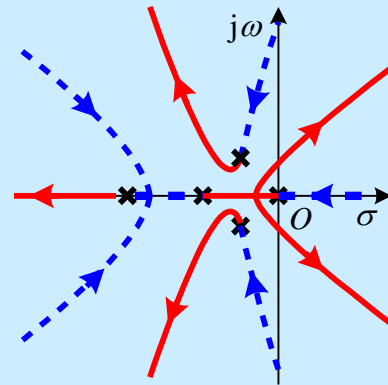
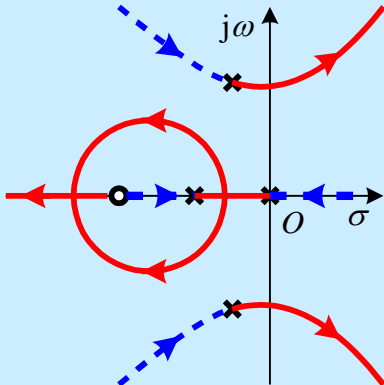
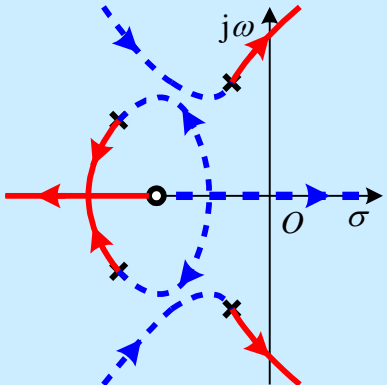
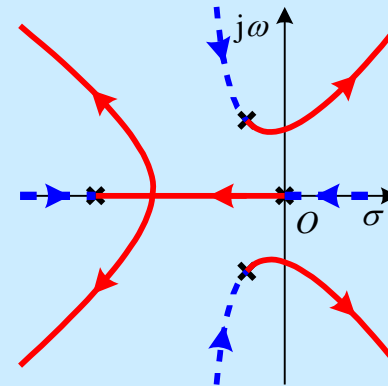
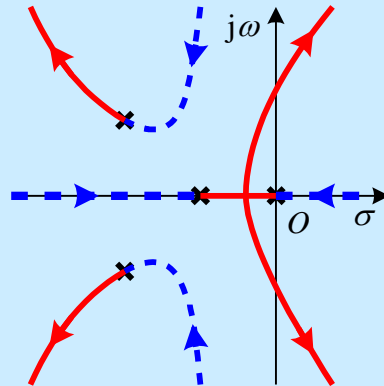
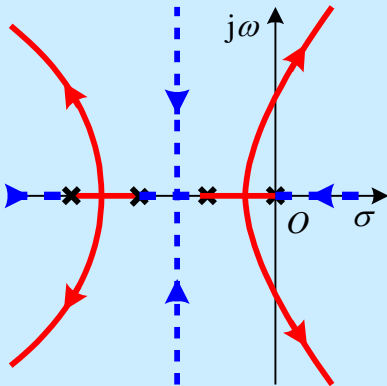
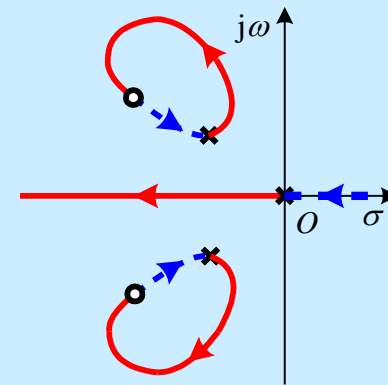
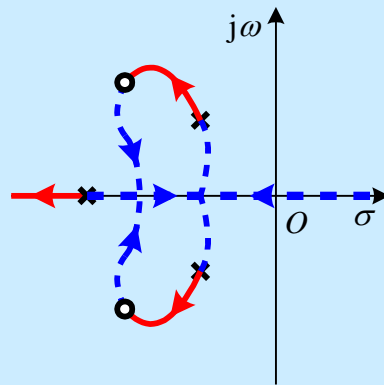
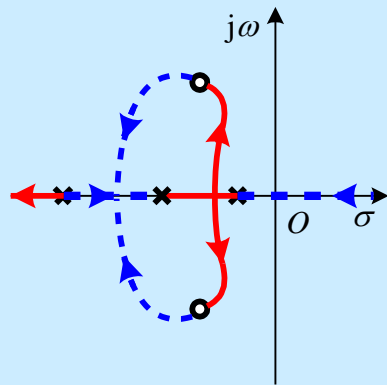
$$G(s) = \frac{K}{s(s+1)(s+2)}, \quad F(s) = 1$$

Solution:



◆ 典型全根轨迹





End of Chapter 5

